

Inhalt der Nachrichtentechnik



TECHNISCHE
UNIVERSITÄT
DARMSTADT

Teil 3: Analoge Hochfrequenz-Signalverarbeitung

8 Modulation hochfrequenter Signale und Multiplexverfahren

8.1 Modulation und Demodulation eines hochfrequenten Trägersignals

8.1.1 Aufwärtsmischung (Sender) und Erzeugung eines AM-Signals

8.1.2 Abwärtsmischung (Empfänger) und Demodulation

8.2 Intermodulation

8.2.1 Intermodulation in Frequenzmultiplexsystemen

8.2.2 Passive Intermodulation (PIM)

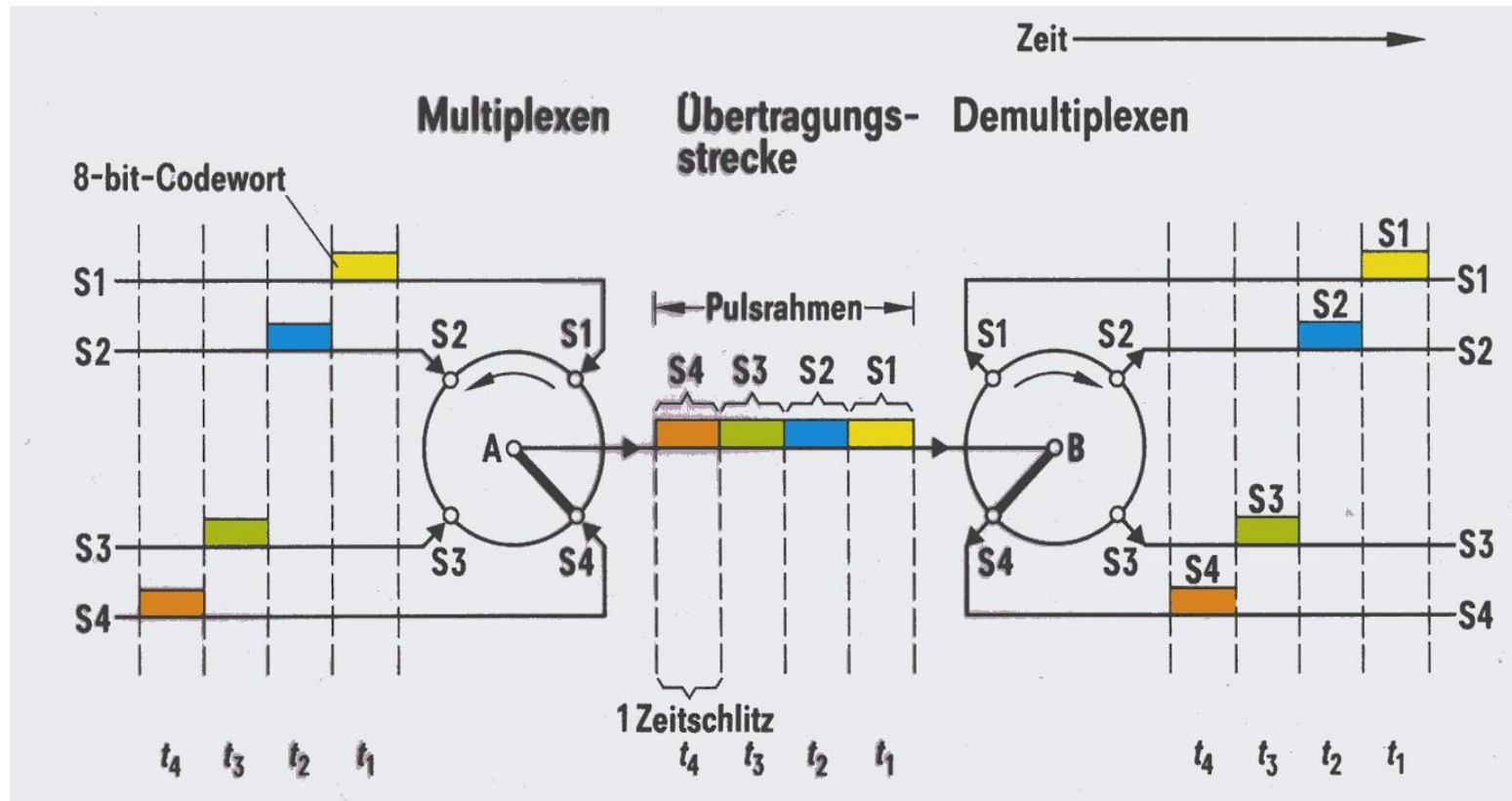
8.3 Grundlegende Multiplexverfahren

Codemultiplex und Bandspreiztechnik

Einführung & Motivation: Zweck der Frequenzumsetzung / Modulation

Ergänzung: Raummultiplex & Codemultiplex

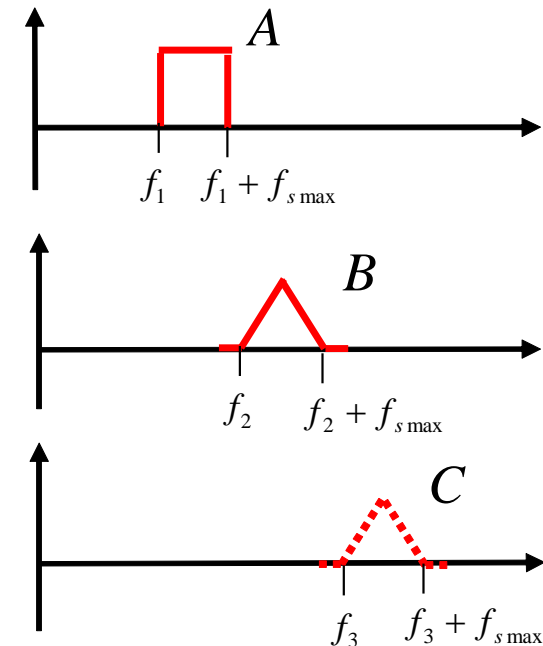
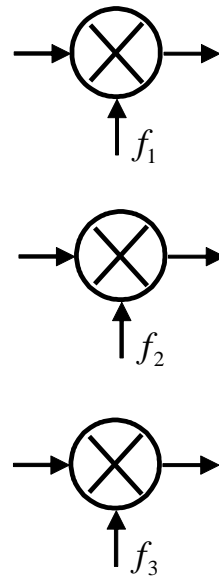
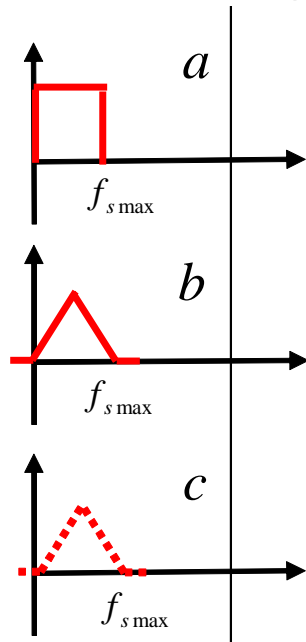
Beispiel: Mehrfachausnutzung des Kanals durch Multiplexverfahren - Zeitmultiplex



Zeitlich verschachtelte digitale PCM-Signale S1 bis S4 im Basisband
➔ **Kap. 6. PCM-Zeitmultiplex (Time Division Multiple Access, TDMA)**

Beispiel: Mehrfachausnutzung des Kanals durch Multiplexverfahren - Frequenzmultiplex

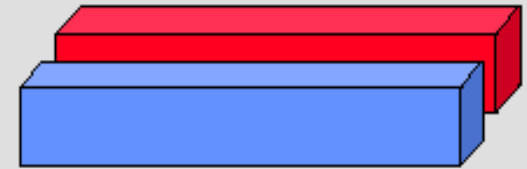
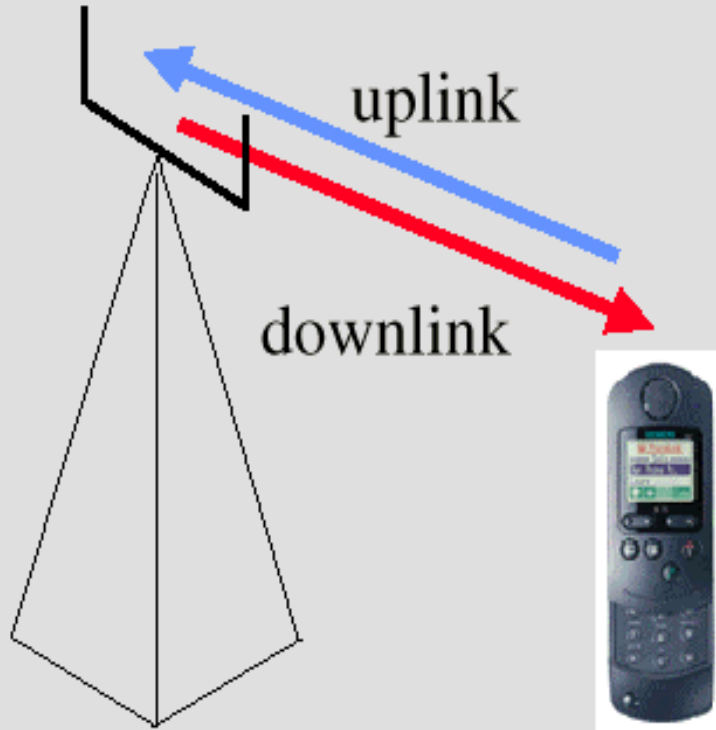
Aufwärtsmischung, RF-Modulation,
Frequenzumsetzung



Frequenzumsetzung der Basisbänder *a*, *b*, *c* (Sprache, Video, Daten)
aus der natürlichen Frequenzlage in die HF-Frequenzlage *A*, *B*, *C*
(frequenzversetzt) → Frequenzmultiplex (Frequency Division
Multiplex Access, FDMA)

Duplexverfahren (Duplex Schemes)

Separation von Sende- und Empfangssignal



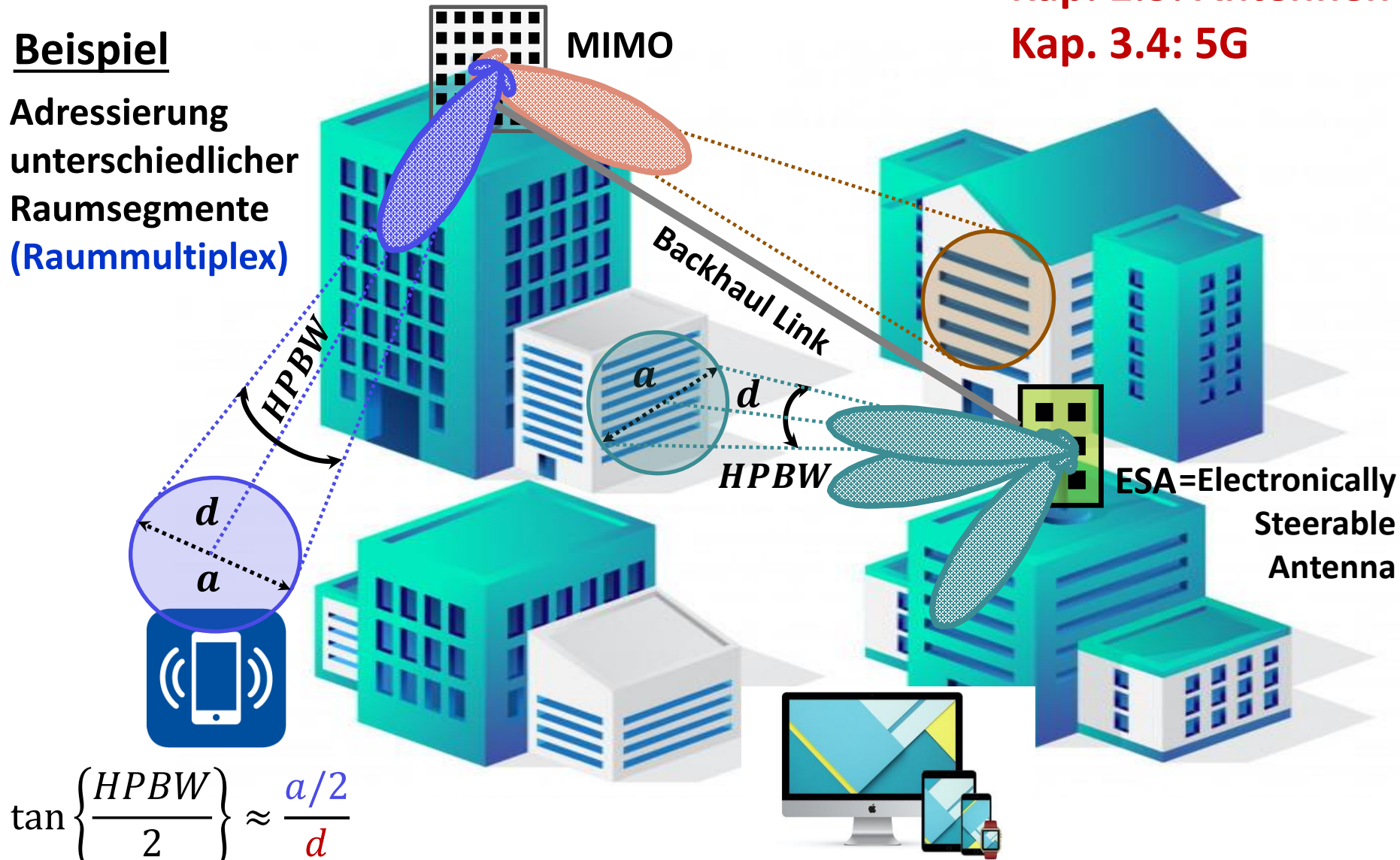
FDD: Frequency Division
Duplex



TDD: Time Division
Duplex

Beispiel

Adressierung
unterschiedlicher
Raumsegmente
(Raummultiplex)



$$\tan \left\{ \frac{HPBW}{2} \right\} \approx \frac{a/d}{2}$$

$a \approx d \cdot HPBW$ for small HPBW

MIMO = Multiple Input Multiple Output
SDMA = Space Division Multiple Access

Digital vs. Analog Beamforming for Large Arrays (Pros & Cons)

Digital beamforming

$N_R \times \text{ANT}$ elements, $N_R \times$ down- & A/D converters

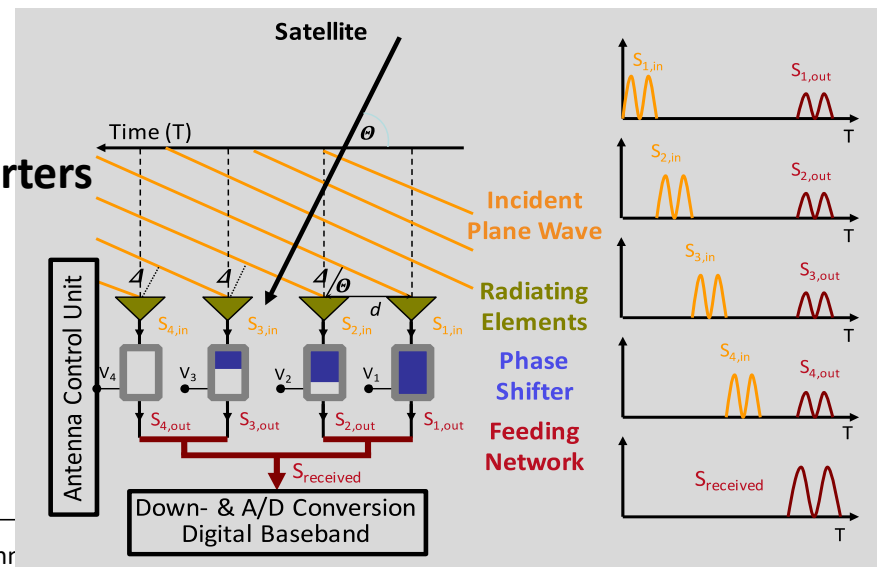
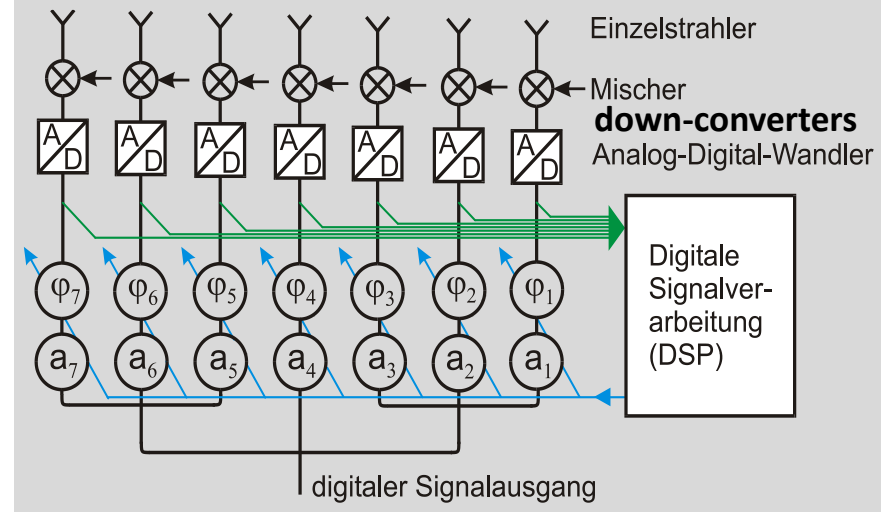
- + Controlling the phase and the signal amplitude at the same time (weighting) is very simple in the DBB
- High power consumption due to electronics (A/D converter)
- Complex systems & integration
→ high manufacturing cost

Analog beamforming

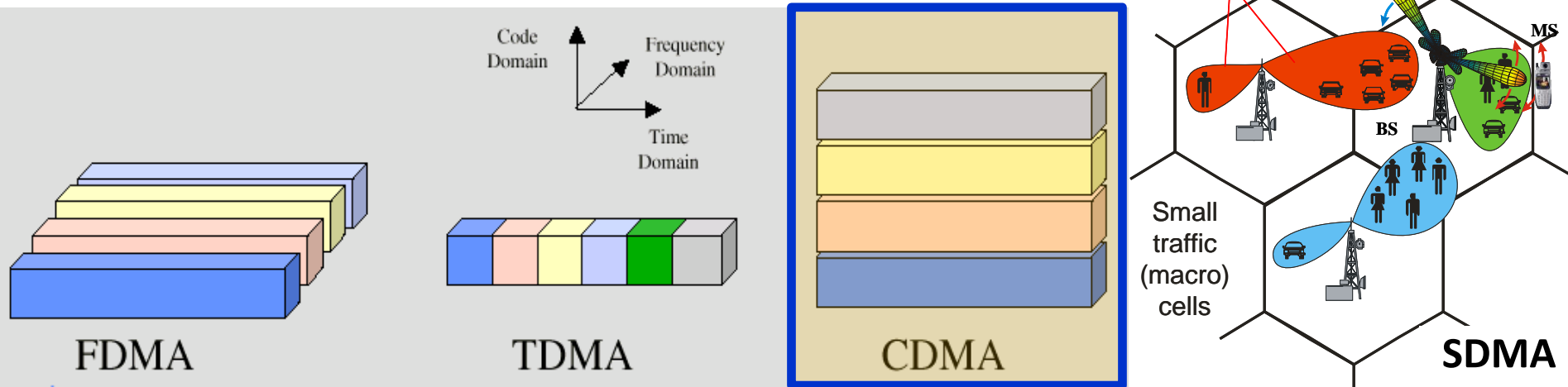
$N_R \times \text{ANT}$ & phase shifters, $1 \times$ down- & A/D converters

- + Controlling the phase in RF band is simple
- Controlling the amplitude in RF is difficult
- Electronics required for tuning voltages
- + Low power consumption, dep. on technology
- + Less complexity → low manufact. cost feasible

Examples: Receiving Case



Modulation hochfrequenter Trägersignale



❑ **Störschutzerhöhung:** z.B. durch Modulationsverfahren (s. Kap. 9) oder Spreiztechniken mittels CDM (s. Kap. 8.3)

⇒ Austausch von Bandbreite gegen Störabstand

⇒ Erhöhung der Störsicherheit gegenüber Rauschen und Interferenz

Fokus: Code Division Multiplex Access (CDMA) kurz Codemultiplex
Vielseitige Anwendungen in modernen Kommunikationssystemen:
UMTS, 4G LTE, 5G, GEO/MEO-HTS, LEO-Sat. Mega-Constellations, ...

Inhalt der Nachrichtentechnik



TECHNISCHE
UNIVERSITÄT
DARMSTADT

Teil 3: Analoge Hochfrequenz-Signalverarbeitung

8 Modulation hochfrequenter Signale und Multiplexverfahren

8.1 Modulation und Demodulation eines hochfrequenten Trägersignals

8.1.1 Aufwärtsmischung (Sender) und Erzeugung eines AM-Signals

8.1.2 Abwärtsmischung (Empfänger) und Demodulation

8.2 Intermodulation

8.2.1 Intermodulation in Frequenzmultiplexsystemen

8.2.2 Passive Intermodulation (PIM)

8.3 Grundlegende Multiplexverfahren

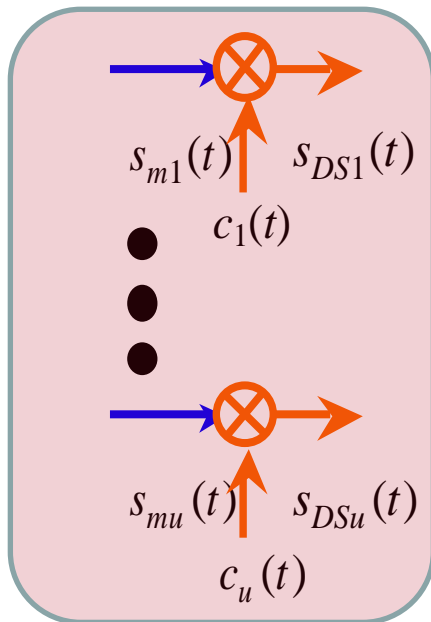
Codemultiplex und Bandspreiztechnik

Basisband-Signale im Sender und Empfänger

Digitales Basisband: **u**-ter Sender

Nächste Folie: Darstellung der Signale & Spreizfaktor

1.) Modulationssignal $s_{mu}(t)$ mit der Symboldauer T_s des **u**-ten Sender



$$s_m(t) = A_m \cdot \sum_{i=-I}^I d(i) \cdot \text{rect}\left(\frac{t-i \cdot T_s}{T_s}\right)$$

Informationstragende Signal: ergodischer Prozess bei der die Daten $d(i)$ unbekannt sind

3.) Gesendete Spreizsignal $s_{mSu}(t)$ des **u**-ten Sender

$$\begin{aligned} s_{DSu}(t) &= s_{mu}(t) \cdot c_u(t) \\ &= A_m \cdot A \cdot \sum_{i=-I}^I d(i) \cdot \text{rect}\left[\frac{t-i \cdot T_s}{T_s}\right] \cdot \sum_{k=-K}^K c(i) \cdot \text{rect}\left[\frac{t-k \cdot T_c}{T_c}\right] \end{aligned}$$

Spreizcodesequenz $c(i)$ ist bekannt, deterministisch und periodisch

$$c_u(t) = A \cdot \sum_{k=-K}^K c(i) \cdot \text{rect}\left[\frac{t-k \cdot T_c}{T_c}\right]$$

2.) Nutzerspezifischen pseudo-zufälligen Rechtecksignal (binäre Folge von Chips = Spreizcodesequenz mit Chipdauer $T_c \ll T_s$)

Digitales Basisband (Beispiel): *u*-ter Sender



TECHNISCHE
UNIVERSITÄT
DARMSTADT

Nächste Folie: *v*-ter Empfänger

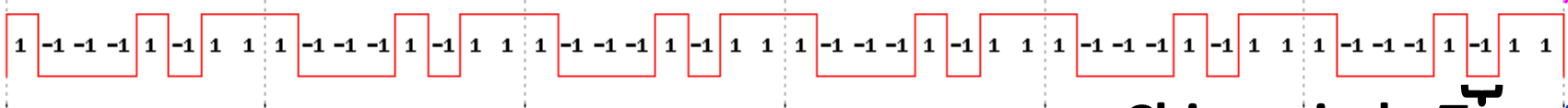
Modulationssignal mit niedriger Bandbreite: $s_{mu}(t)$

Symboldauer T_s



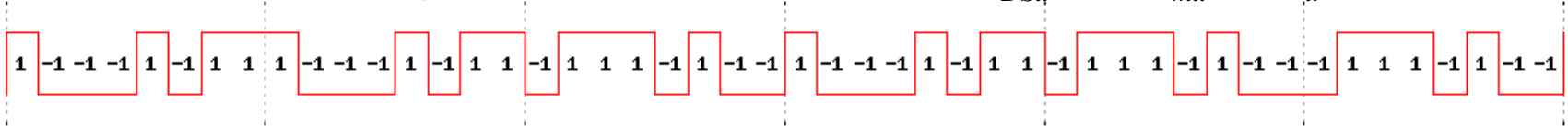
Spreizcodesequenz mit hoher Bandbreite: $c_u(t)$

Spreizfaktor $G_p = T_s / T_c$



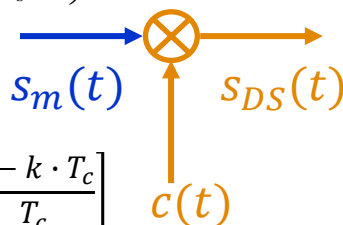
Chipperiode $T_c \ll T_s$

Gesendetes Spreizsignal mit hoher Bandbreite: $s_{DSu}(t) = s_{mu}(t) \cdot c_u(t)$



$$s_m(t) = A_m \cdot \sum_{i=-I}^I d(i) \cdot \text{rect}\left(\frac{t-i \cdot T_s}{T_s}\right)$$

$$c_u(t) = A \cdot \sum_{k=-K}^K c(i) \cdot \text{rect}\left[\frac{t-k \cdot T_c}{T_c}\right]$$



$$s_{DSu}(t) = s_{mu}(t) \cdot c_u(t)$$

$$= A_m \cdot A \cdot \sum_{i=-I}^I d(i) \cdot \text{rect}\left[\frac{t-i \cdot T_s}{T_s}\right] \cdot \sum_{k=-K}^K c(i) \cdot \text{rect}\left[\frac{t-k \cdot T_c}{T_c}\right]$$

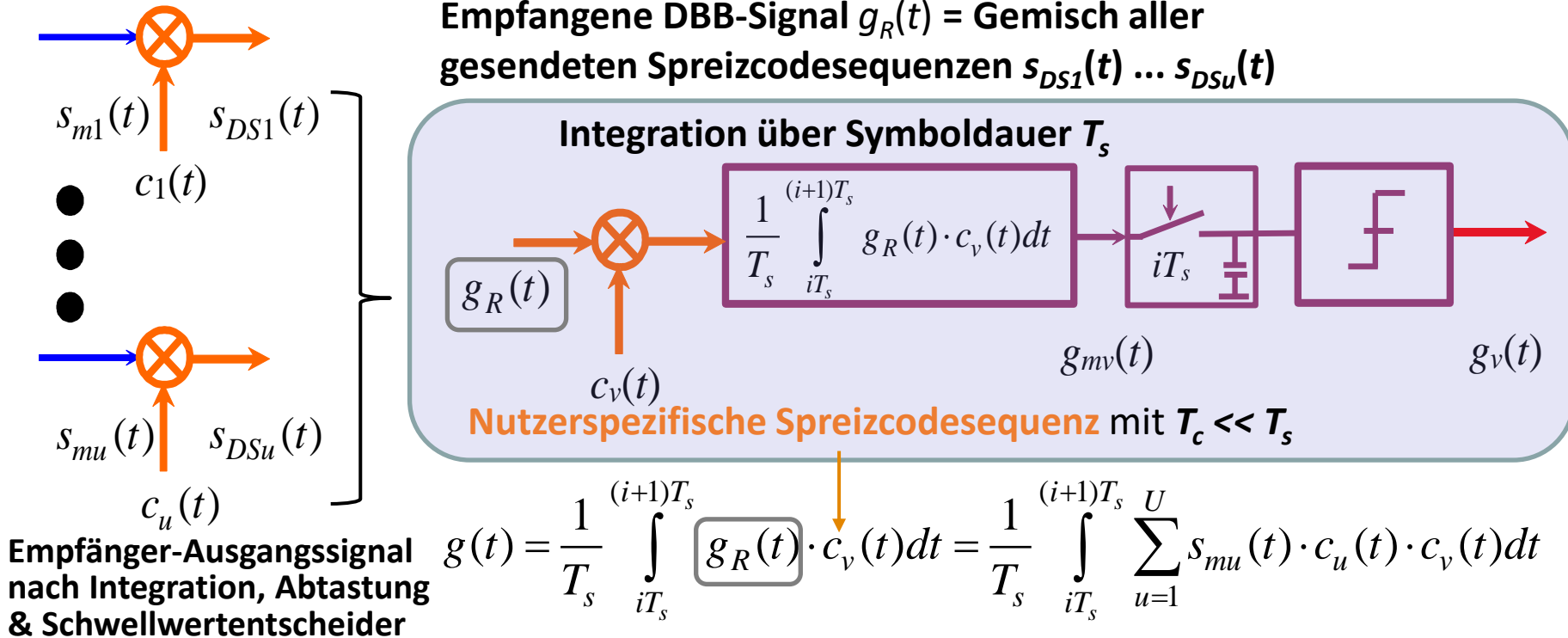


Digitales Basisband: v-ter Empfänger



TECHNISCHE
UNIVERSITÄT
DARMSTADT

Nächste Folie: Ergebnisse v-ter Empfänger



$$g(t) = \underbrace{\sum_{u \neq v} \frac{1}{T_s} \int_{iT_s}^{(i+1)T_s} s_{mu}(t) \cdot c_u(t) \cdot c_v(t) dt}_{\approx 0, \text{ da unkorreliert}} + \underbrace{\frac{1}{T_s} \int_{iT_s}^{(i+1)T_s} s_{mv}(t) \cdot \underbrace{c_v(t) \cdot c_v(t)}_{=1 \text{ für } u=v} dt}_{s_{mv}(t) = s_{mu}(t)} = s_{mu}(t)$$

Integration über T_s

Digitales Basisband: v -ter Empfänger

Nächste Folie: Darstellung der Signale

Empfänger-Ausgangssignal nach Integration, Abtastung & Schwellwertentscheider

$$g(t) = \sum_{u \neq v} \underbrace{\frac{1}{T_s} \int_{iT_s}^{(i+1)T_s} s_{mu}(t) \cdot c_u(t) \cdot c_v(t) dt}_{\approx 0, \text{ da unkorreliert}} + \underbrace{\frac{1}{T_s} \int_{iT_s}^{(i+1)T_s} s_{mv}(t) \cdot c_v(t) \cdot c_v(t) dt}_{s_{mv}(t) = s_{mu}(t) \text{ für } u=v} = s_{mu}(t)$$

Ergebnis:

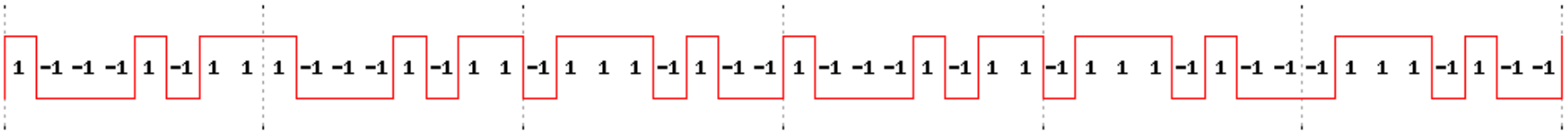
Bei Verwendung **orthogonaler Spreizcodes** ist das nutzerspezifische Signal mit allen übrigen Spreizcodesequenzen $u \neq v$ unkorreliert

→ Integration liefert „0“

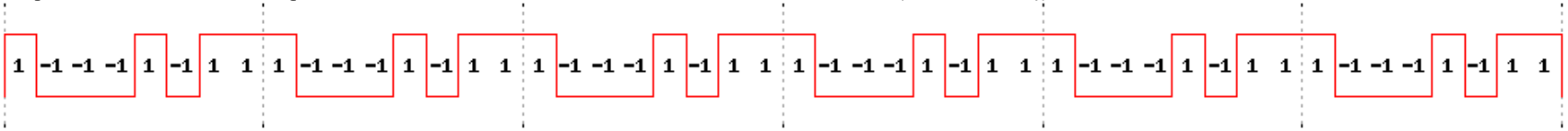
Aus Gemisch aller gesendeten Spreizcodesequenzen $s_{DS1}(t) \dots s_{DSu}(t)$ im Empfangssignal $g_R(t)$ des v -ten Teilnehmers für $u=v$ wird **NUR** das **ursprüngliche Modulationssignal** durch Integration über eine Symboldauer T_s rückgewonnen

Nächste Folie: w-ter Receiver

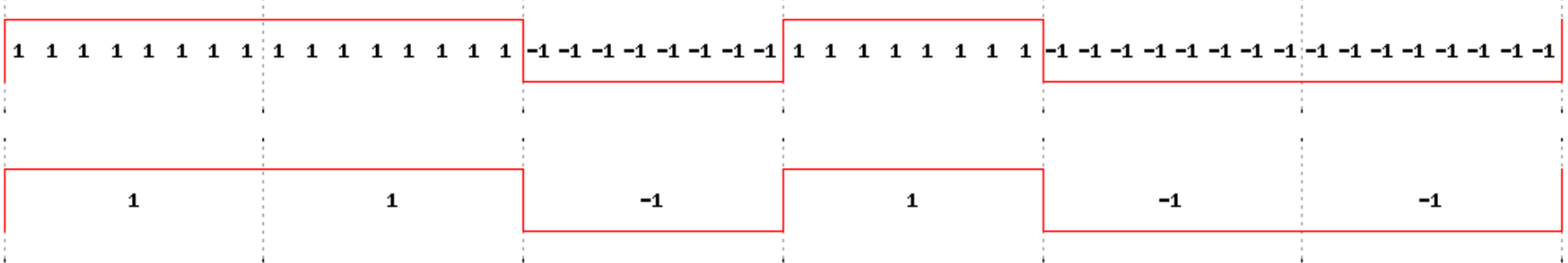
Empfangenes Spreizsignal (nur für $u=v$, da für $u \neq v$ unkorreliert): $g_R(t) = s_{DSu}(t)$



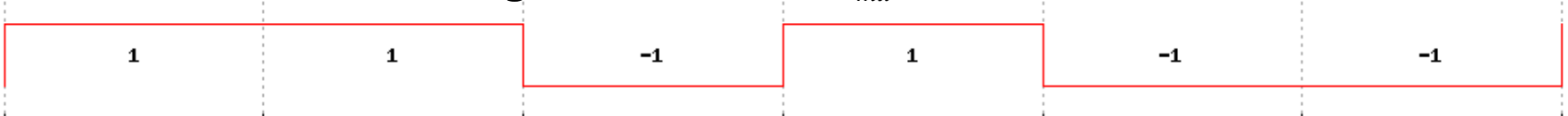
Spreizcodesequenz mit hoher Bandbreite: $c_v(t) = c_u(t)$



Empfangssignal mit niedriger Bandbreite: $g_v(t) = g_R(t) \cdot c_v(t)$



Referenz: Modulationssignal im Sender $s_{mu}(t)$



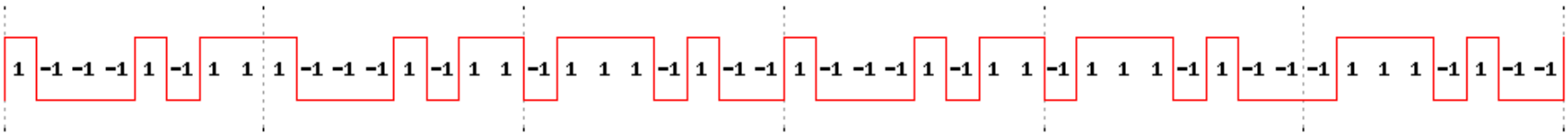
Digitales Basisband (Beispiel): w -ter Empfänger



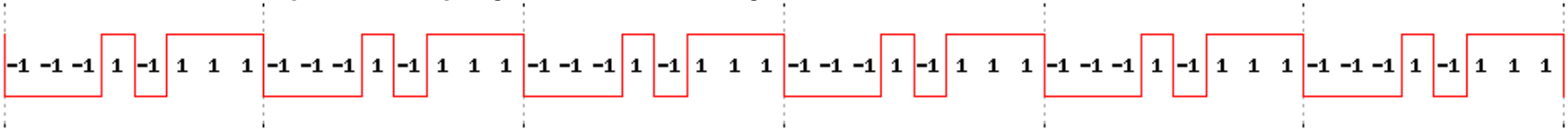
TECHNISCHE
UNIVERSITÄT
DARMSTADT

WRONG Spreading Code

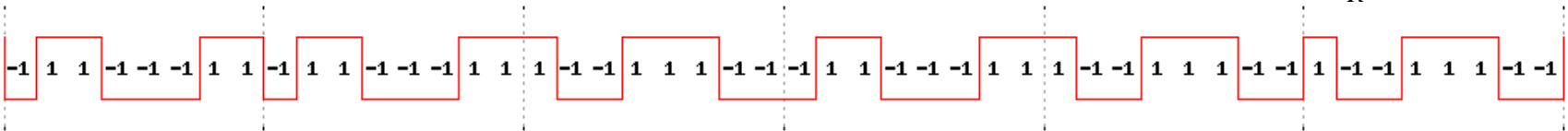
Empfangene Signal des u -ten Senders: $g_R(t) = s_{DSu}(t)$



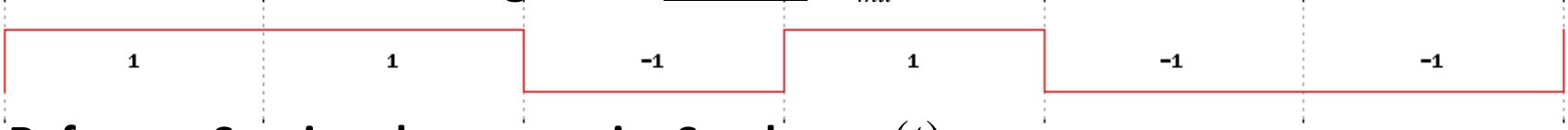
Verschobene (falsche) Spreizcodesequenz: $c(t - \tau)$



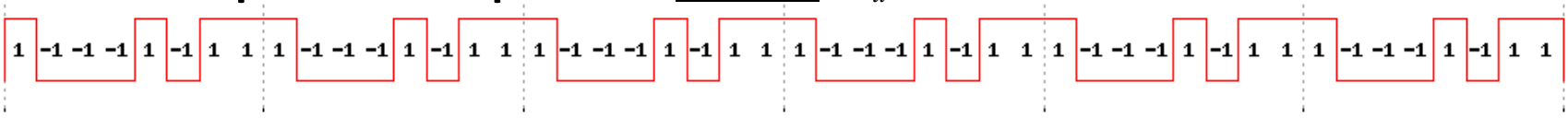
Multiplikation (Originäre Signal nicht mehr detektierbar): $g(t) = g_R(t) \cdot c(t - \tau)$



Referenz: Modulationssignal im Sender $s_{mu}(t)$



Referenz: Spreizcodesequenz im Sender $c_u(t)$



Inhalt der Nachrichtentechnik



TECHNISCHE
UNIVERSITÄT
DARMSTADT

Teil 3: Analoge Hochfrequenz-Signalverarbeitung

8 Modulation hochfrequenter Signale und Multiplexverfahren

8.1 Modulation und Demodulation eines hochfrequenten Trägersignals

8.1.1 Aufwärtsmischung (Sender) und Erzeugung eines AM-Signals

8.1.2 Abwärtsmischung (Empfänger) und Demodulation

8.2 Intermodulation

8.2.1 Intermodulation in Frequenzmultiplexsystemen

8.2.2 Passive Intermodulation (PIM)

8.3 Grundlegende Multiplexverfahren

Codemultiplex und Bandspreiztechnik

Autokorrelationsfunktion (AKF) & Leistungsdichtespektrum (LDS) der Signale im Basisband

Autokorrelationsfunktion (AKF)

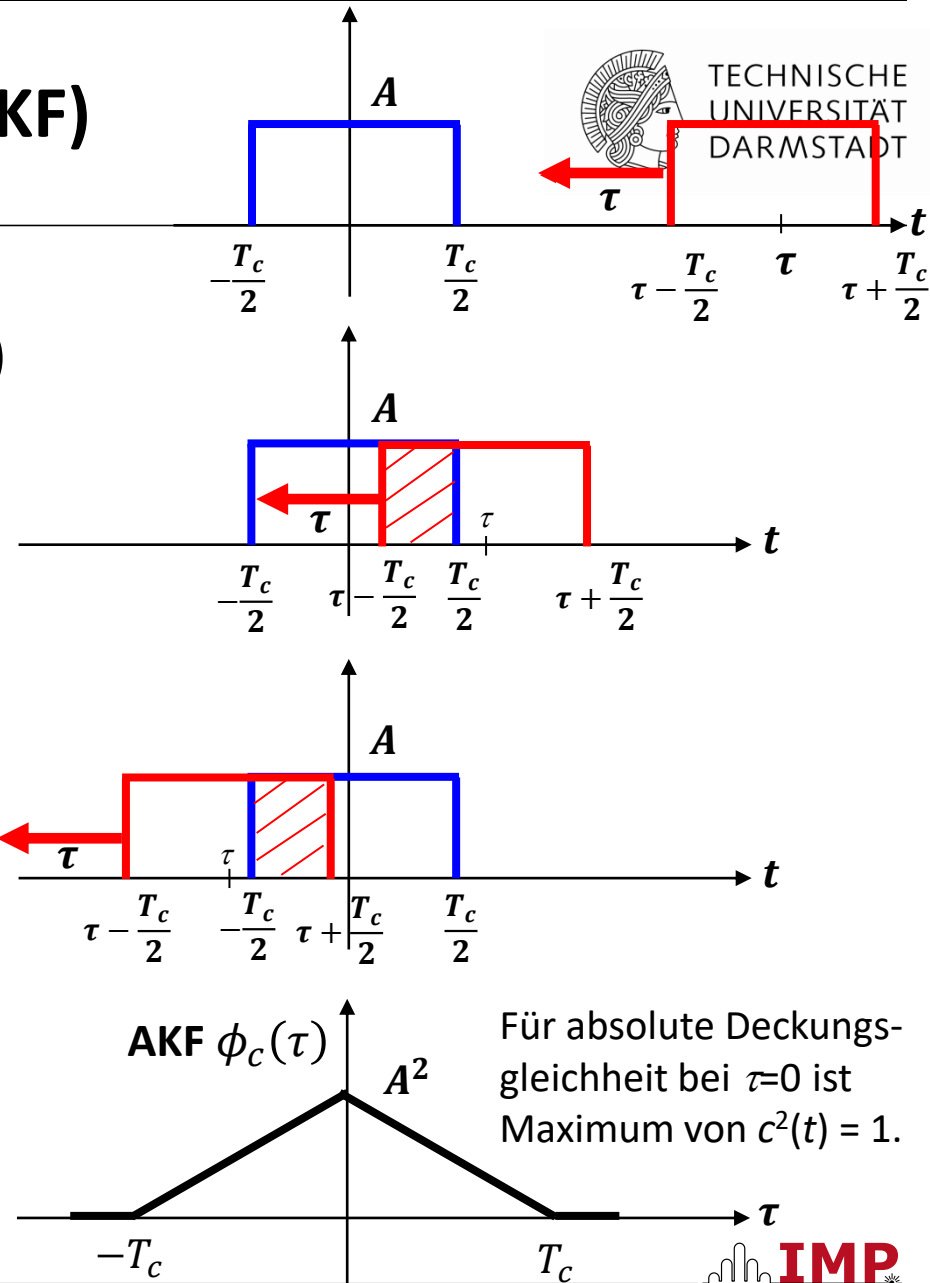
AKF der Spreizcodesequenz $c(t)$
(Rechteck mit der Impulsbreite T_c)

$$\phi_c(\tau) = c(-\tau) * c(\tau)$$

wie **Faltung** zweier Rechtecksignale der Breite T_c

➔ **AKF = Dreiecksfunktion**
der Breite $2T_c$

$$\begin{aligned} \phi_c(\tau) &= \lim_{T_0 \rightarrow \infty} \frac{1}{2T_0} \int_{-T_0}^{T_0} c(t)c(t+\tau)dt \\ &= \Lambda\left[\frac{\tau}{T_c}\right] \text{ für } |\tau| < T_c \end{aligned}$$



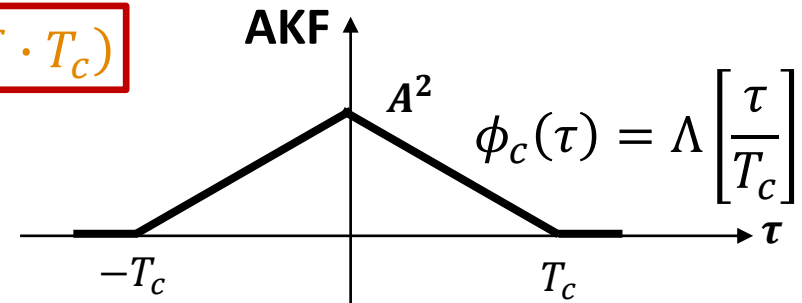
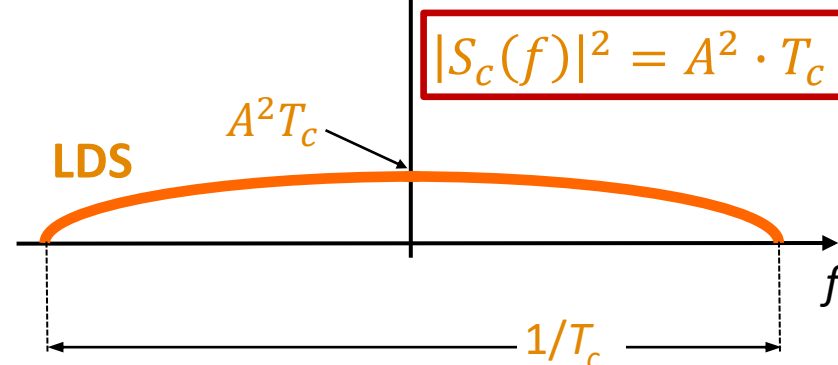
AKF & LDS der Spreizcodesequenz

Fourier-Transformierte allgemein einer AKF eines reell-wertigen Signals ist gleich dem **Betragsquadrat der Fourier-Transformierten dieses Signals** (**Wiener-Khintchine-Theorem**)

AKF $\phi_c(\tau) = c(-\tau) * c(\tau)$ $\Rightarrow \phi_c(\tau) = \int_{-\infty}^{\infty} |S_c(f)|^2 e^{+j2\pi f\tau} df$

LDS $S_c^*(f) \cdot S_c(f) = |S_c(f)|^2$ $\Rightarrow |S_c(f)|^2 = \int_{-\infty}^{\infty} \phi_c(\tau) e^{-j2\pi f\tau} d\tau$

LDS der Spreizcodesequenz ist eine si^2 -Funktion (FT der Λ -AKF) mit einer Breite des Hauptspektrums von $1/T_c$:



AKF & LDS des Modulationssignals

Symboldauer >> Chipperiode

Gleiche für Modulationssignal $s_m(t)$
(Rechtecksignal der Impulsbreite T_s)

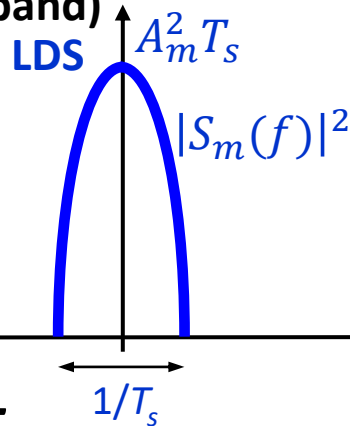
$$T_s \gg T_c$$

→ AKF = Dreiecksfunktion mit Breite $2T_s$

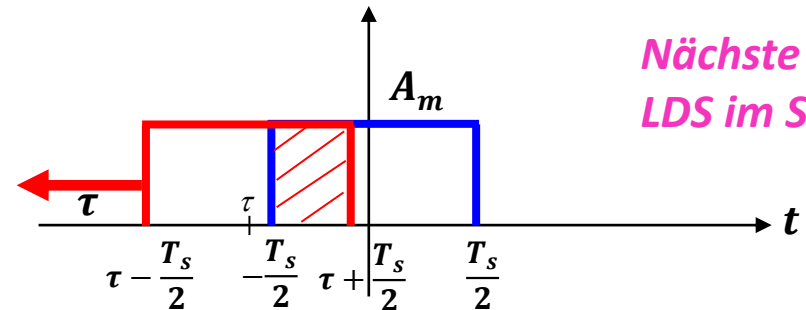
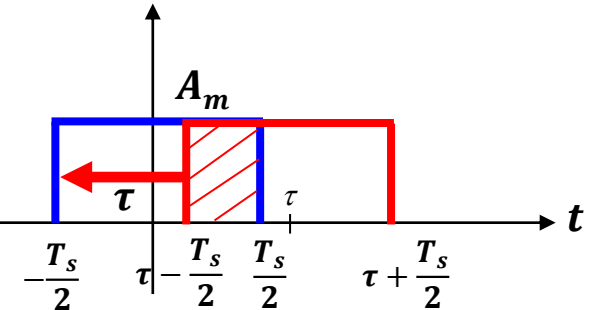
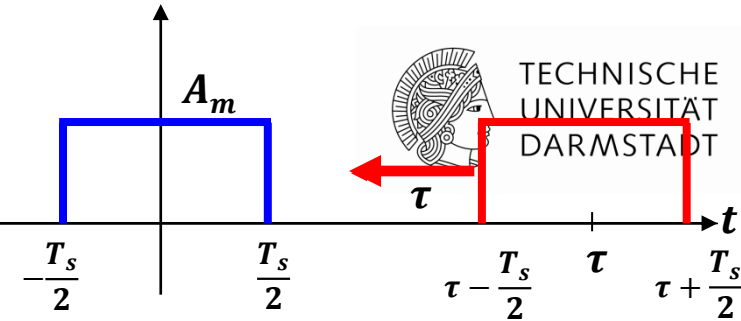
→ LDS = $\text{si}^2()$ Fouriertransformierte mit Breite
des Hauptspektrums $1/T_s$:

$$|S_m(f)|^2 = A_m^2 \cdot T_s \cdot \text{si}^2(\pi f \cdot T_s)$$

Sender (Basisband)

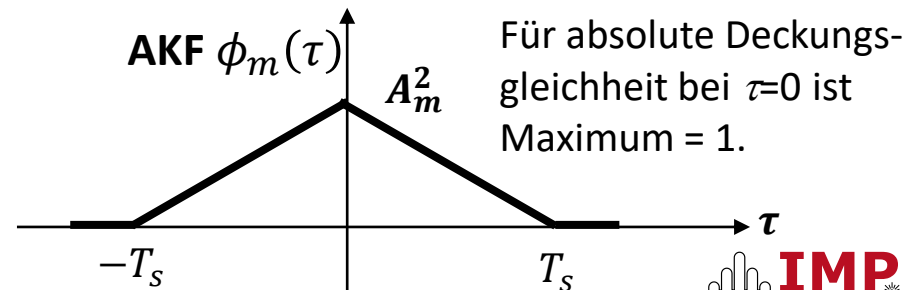


$$1/T_s \ll 1/T_c$$



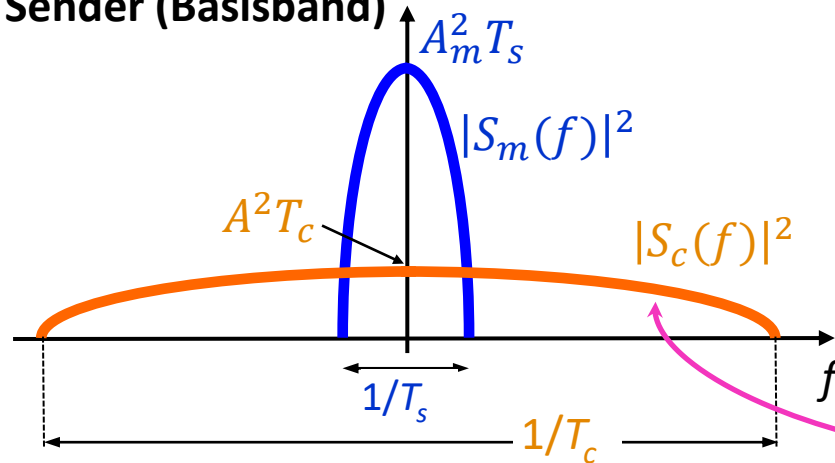
Nächste Folie:
LDS im Sender

AKF $\phi_m(\tau)$



LDS des Sendesignals (*u*-ter Sender)

Sender (Basisband)

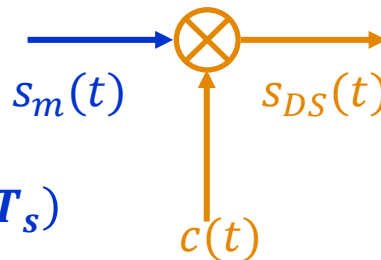


LDS Mod.sig., Breite des
Hauptspektrums $1/T_s$

$$|S_m(f)|^2 = A_m^2 \cdot T_s \cdot \text{sinc}^2(\pi f \cdot T_s)$$

$$|S_c(f)|^2 = A^2 \cdot T_c \cdot \text{sinc}^2(\pi f \cdot T_c)$$

LDS Spreizcodesequenz, Breite
des Hauptspektrums $1/T_c$



Digitales Basisband:

Wegen Multiplikation $s_{DSu}(t) = s_{mu}(t) \cdot c_u(t)$ ist die Impulsbreite des Sendesignals $s_{DS}(t)$ auch T_c wie die der Spreizcodesequenz → **LDS Sendesignal** mit Breite des Hauptspektrums $1/T_c$:

$$|S_{DS}(f)|^2 \sim A_M^2 \cdot T_c \cdot \text{sinc}^2(\pi f \cdot T_c)$$

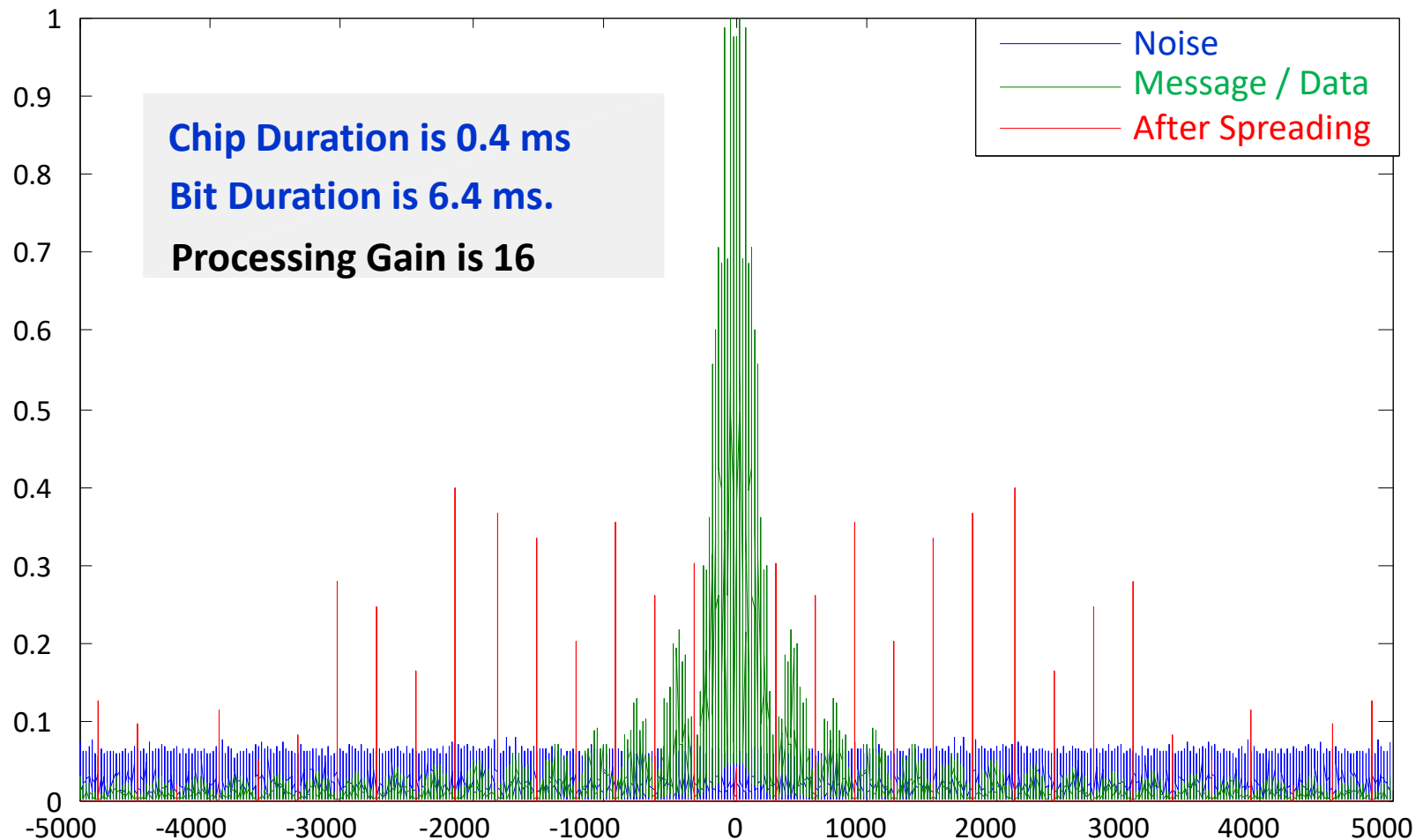
Spreizung des Spektrums

$|S_{DS}(f)|^2$ gegenüber dem LDS
des Modulationssig. $|S_M(f)|^2$

Spreizfaktor $G_p = T_s / T_c$

z.B. $T_c = 0.4 \text{ ms}$ & $T_s = 6.4 \text{ ms}$ → $G_p = 16$
 **$16/T_s$ breites Spektrum für Kanal-
übertragung erforderlich!**

Example for the Power Density Spectrum of a Real CDM System



Inhalt der Nachrichtentechnik

Teil 3: Analoge Hochfrequenz-Signalverarbeitung



TECHNISCHE
UNIVERSITÄT
DARMSTADT

8 Modulation hochfrequenter Signale und Multiplexverfahren

8.1 Modulation und Demodulation eines hochfrequenten Trägersignals

8.1.1 Aufwärtsmischung (Sender) und Erzeugung eines AM-Signals

8.1.2 Abwärtsmischung (Empfänger) und Demodulation

8.2 Intermodulation

8.2.1 Intermodulation in Frequenzmultiplexsystemen

8.2.2 Passive Intermodulation (PIM)

8.3 Grundlegende Multiplexverfahren

Codemultiplex und Bandspreiztechnik

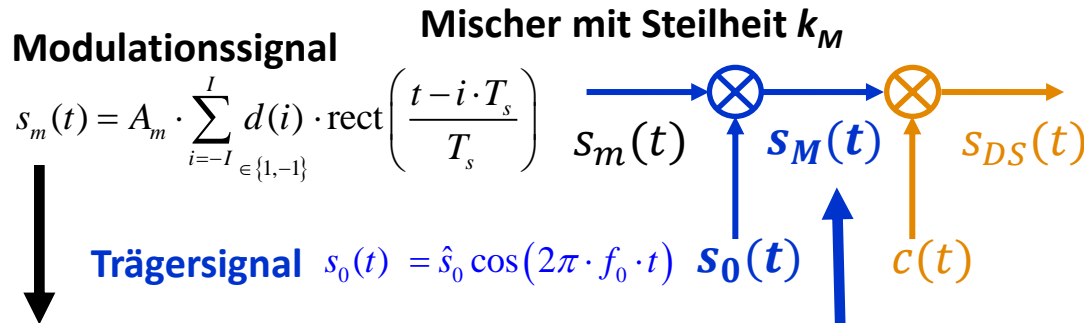
**Hochfrequenzsignale (Kap. 8) zur Übertragung über einen Kanal:
Autokorrelationsfunktion (AKF) & Leistungsdichtespektrum (LDS)**

Modulation/Aufwärtsmischung in die Hochfrequenzebene: **u-ter Sender**



TECHNISCHE
UNIVERSITÄT
DARMSTADT

$$A_M = k_M A_m \hat{s}_0$$



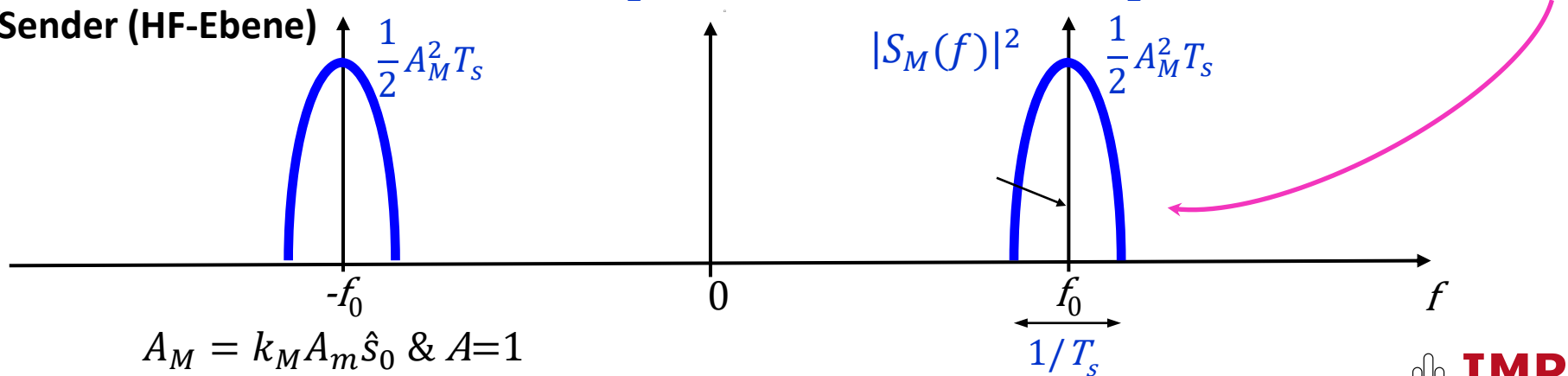
Aufwärtsmischung in HF-Ebene:
Multiplikation mit hochfrequenten Trägersignal (s. Kap. 8) verschiebt das LDS des Modulationssignals um die **Trägerfrequenz $\pm f_0$** im doppelseitigen Spektrum.

$$|S_m(f)|^2 = A_m^2 \cdot T_s \cdot \text{si}^2(\pi f \cdot T_s)$$

LDS nach
Aufwärtsmischung

Sender (HF-Ebene)

$$|S_M(f)|^2 = \frac{1}{2} A_M^2 \cdot T_s \cdot \text{si}^2[\pi(f + f_0)T_s] + \frac{1}{2} A_M^2 \cdot T_s \cdot \text{si}^2[\pi(f - f_0)T_s]$$

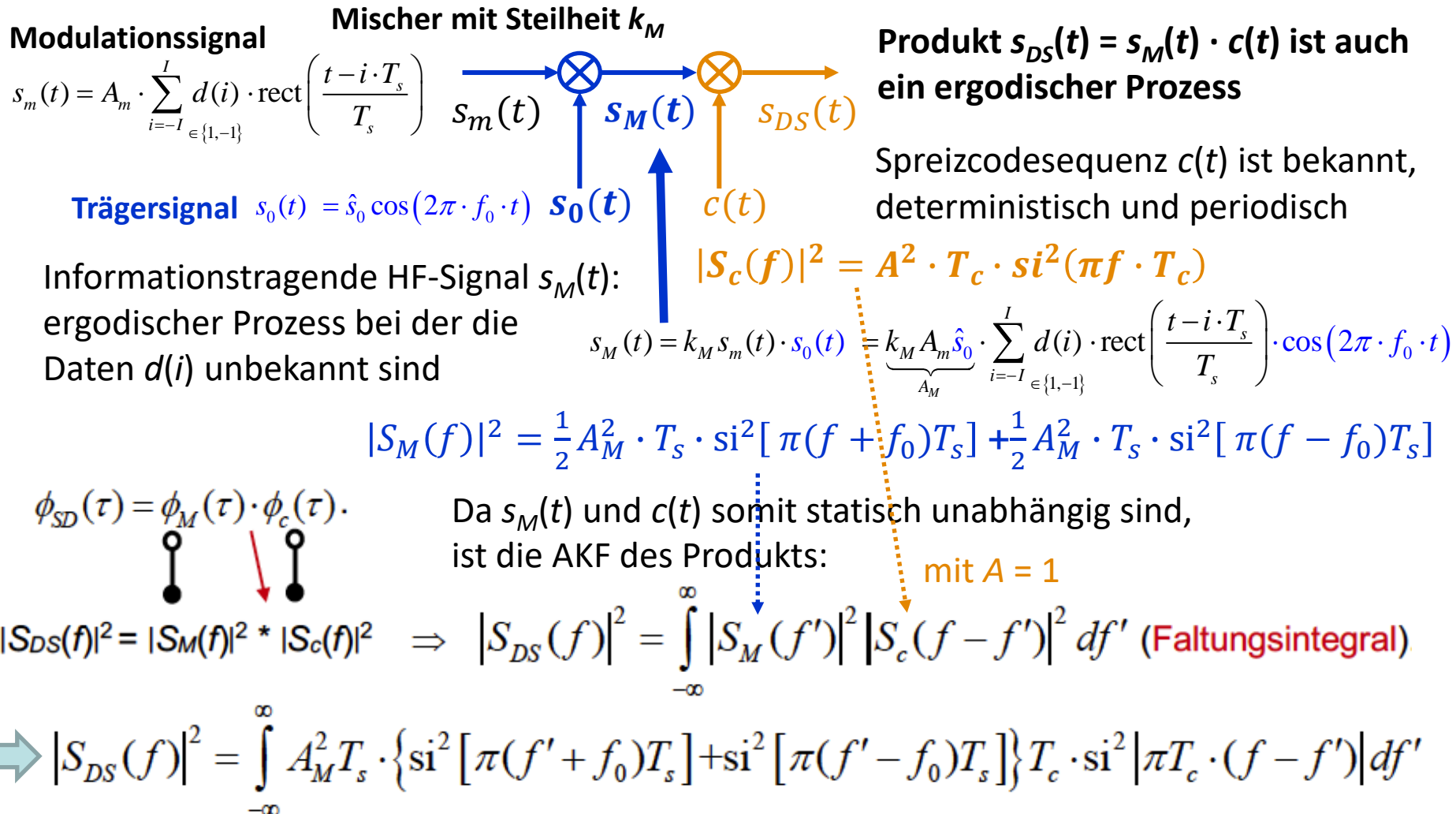


Modulation/Aufwärtsmischung in die Hochfrequenzebene: **u-ter Sender**



TECHNISCHE
UNIVERSITÄT
DARMSTADT

$$A_M = k_M A_m \hat{s}_0$$



Modulation/Aufwärtsmischung in die Hochfrequenzebene: **u-ter Sender**



TECHNISCHE
UNIVERSITÄT
DARMSTADT

$$A_M = k_M A_m \hat{s}_0$$

$$|S_{DS}(f)|^2 = \int_{-\infty}^{\infty} A_M^2 T_s \cdot \left\{ \text{si}^2[\pi(f' + f_0)T_s] + \text{si}^2[\pi(f' - f_0)T_s] \right\} T_c \cdot \text{si}^2[\pi T_c \cdot (f - f')] df'$$

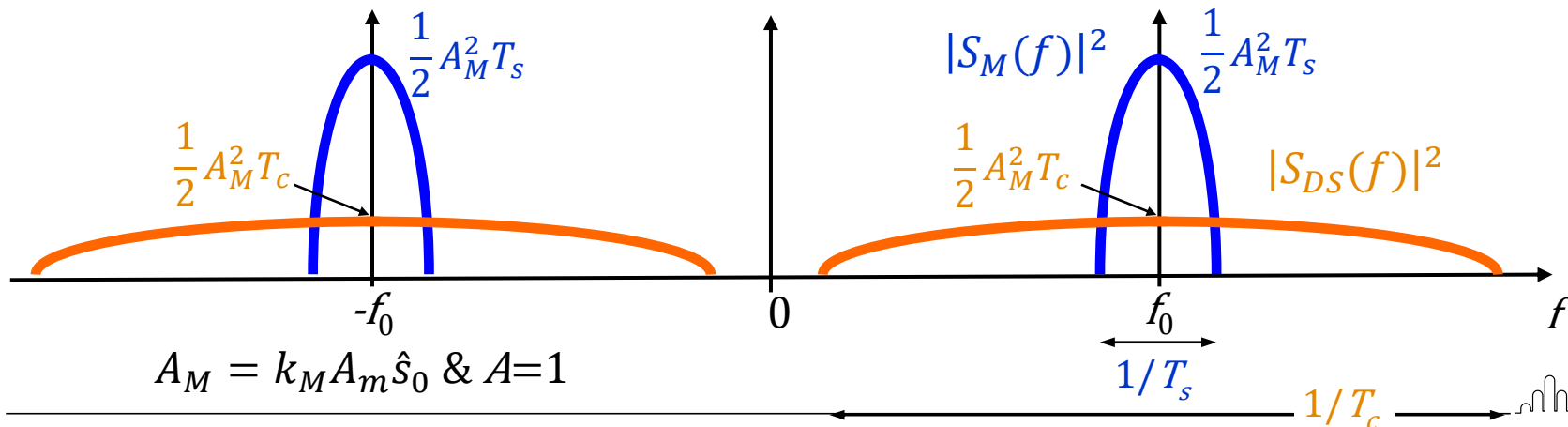
$$|S_{DS}(f)|^2 = A_M^2 T_s T_c \int_{-\infty}^{\infty} \left\{ \text{si}^2[\pi(f' + f_0)T_s] \right\} \cdot \underbrace{\text{si}^2[\pi(f - f')T_c]}_{\text{orange}} df' + A_M^2 T_s T_c \int_{-\infty}^{\infty} \left\{ \text{si}^2[\pi(f' - f_0)T_s] \right\} \cdot \underbrace{\text{si}^2[\pi(f - f')T_c]}_{\text{orange}} df'$$

Zweite si^2 -Funktion nahezu konstant für $f' = \mp f_0$ im Bereich der ersten si^2 -Funktion, da $1/T_c \gg 1/T_s$

$$|S_{DS}(f)|^2 = A_M^2 T_s T_c \cdot \underbrace{\text{si}^2[\pi(f + f_0)T_c]}_{\text{blue}} \cdot \underbrace{\int_{-\infty}^{\infty} \text{si}^2[\pi(f' + f_0)T_s] df'}_{1/T_s} + A_M^2 T_s T_c \cdot \underbrace{\text{si}^2[\pi(f - f_0)T_c]}_{\text{blue}} \cdot \underbrace{\int_{-\infty}^{\infty} \text{si}^2[\pi(f' - f_0)T_s] df'}_{1/T_s}$$

Integration über si^2 -Funktion selbst ergibt $1/T_s$

$$|S_{DS}(f)|^2 = \frac{1}{2} A_M^2 \cdot T_c \cdot \text{si}^2[\pi(f + f_0)T_c] + \frac{1}{2} A_M^2 \cdot T_c \cdot \text{si}^2[\pi(f - f_0)T_c]$$

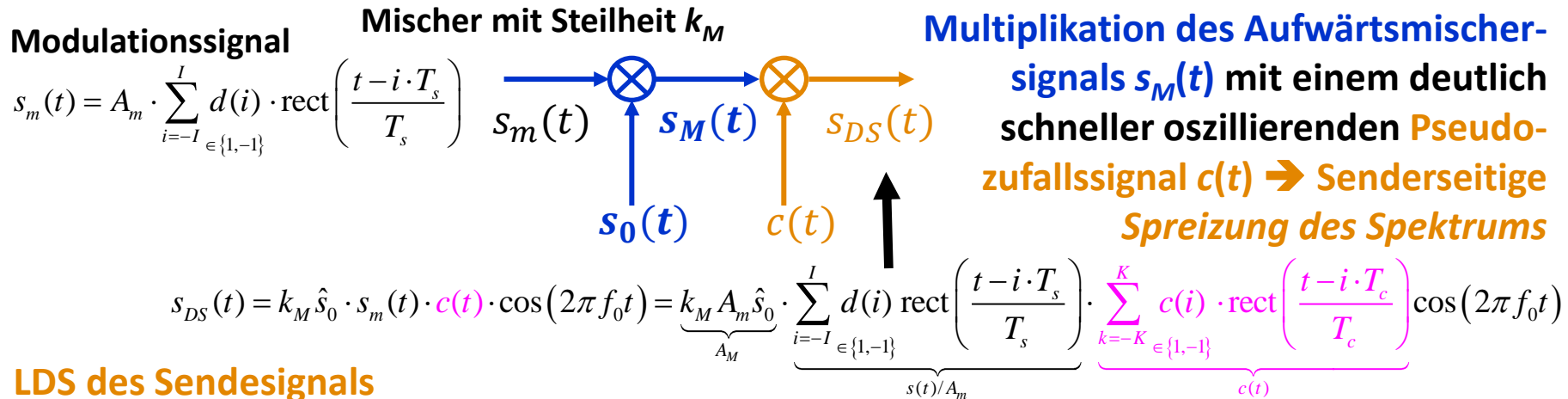


Modulation/Aufwärtsmischung in die Hochfrequenzebene: **u-ter Sender**



TECHNISCHE
UNIVERSITÄT
DARMSTADT

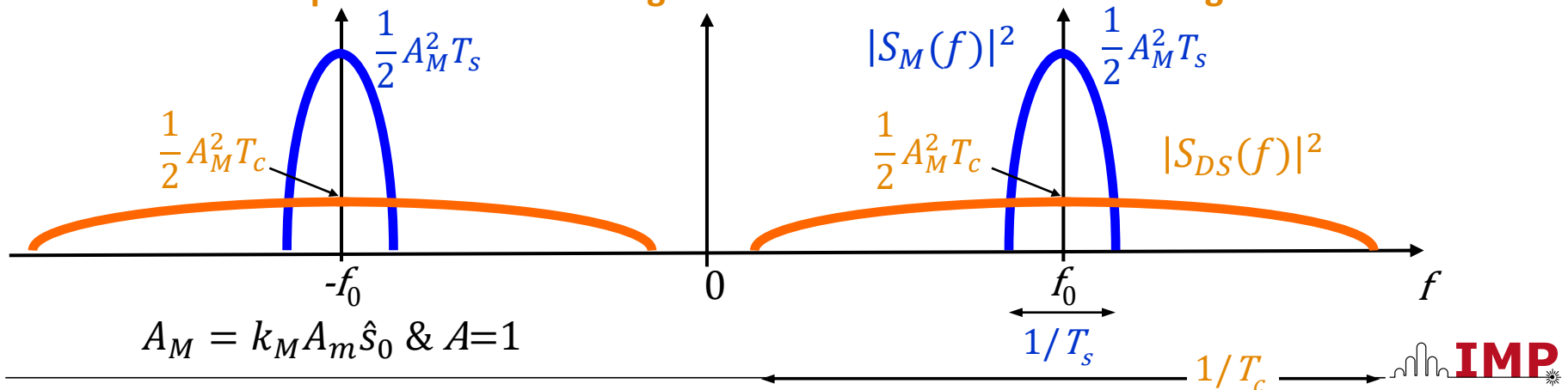
$$A_M = k_M A_m \hat{s}_0$$



LDS des Sendesignals

$$|S_{DS}(f)|^2 = \frac{1}{2} A_M^2 \cdot T_c \cdot \text{si}^2[\pi(f + f_0)T_c] + \frac{1}{2} A_M^2 \cdot T_c \cdot \text{si}^2[\pi(f - f_0)T_c]$$

Breites Spektrum des Sendesignals muss über den Kanal übertragen werden!



Inhalt der Nachrichtentechnik



TECHNISCHE
UNIVERSITÄT
DARMSTADT

Teil 3: Analoge Hochfrequenz-Signalverarbeitung

8 Modulation hochfrequenter Signale und Multiplexverfahren

8.1 Modulation und Demodulation eines hochfrequenten Trägersignals

8.1.1 Aufwärtsmischung (Sender) und Erzeugung eines AM-Signals

8.1.2 Abwärtsmischung (Empfänger) und Demodulation

8.2 Intermodulation

8.2.1 Intermodulation in Frequenzmultiplexsystemen

8.2.2 Passive Intermodulation (PIM)

8.3 Grundlegende Multiplexverfahren

Codemultiplex und Bandspreiztechnik

Empfänger: LDS des empfangenen HF-Signals, Entspreizung, Abwärtsmischung

LDS des Empfangssignals in HF-Ebene

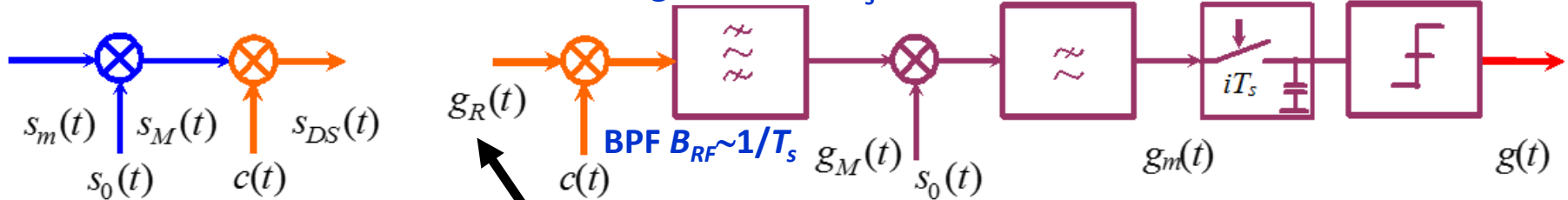
ν -ter Empfänger



TECHNISCHE
UNIVERSITÄT
DARMSTADT

$$a_M = a_{0C} A_M = a_{0C} k_M A_m \hat{s}_0$$

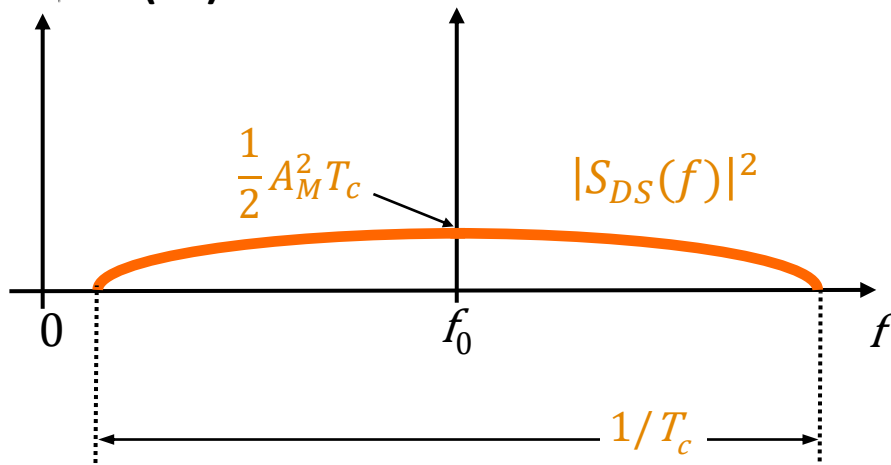
Integration über T_s



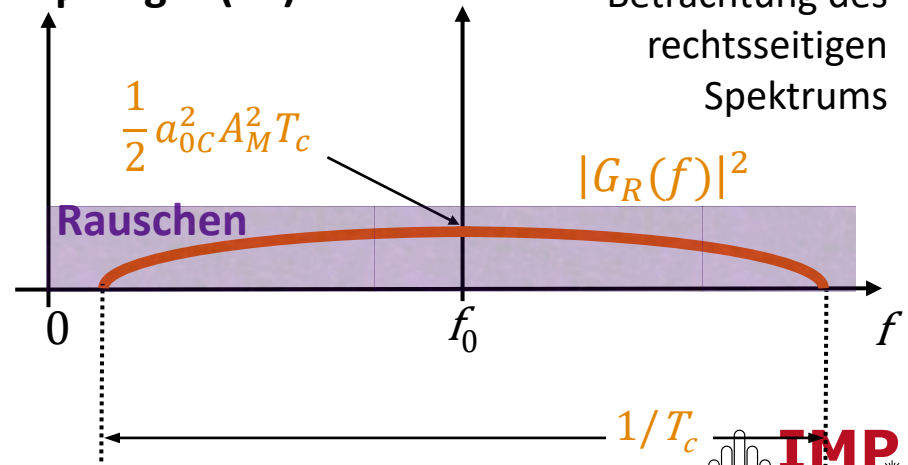
LDS des Empfangssignals $|G_R(f)|^2 = |S_{DS}(f)|^2$ = LDS Sendesignals $s_{DS}(t)$
bis auf Amplitudenfaktor

$$|G_R(f)|^2 = \frac{1}{2} a_{0C}^2 A_M^2 \cdot T_c \cdot \text{si}^2[\pi(f + f_0)T_c] + \frac{1}{2} a_{0C}^2 A_M^2 \cdot T_c \cdot \text{si}^2[\pi(f - f_0)T_c]$$

Sender (RF)



Empfänger (RF)



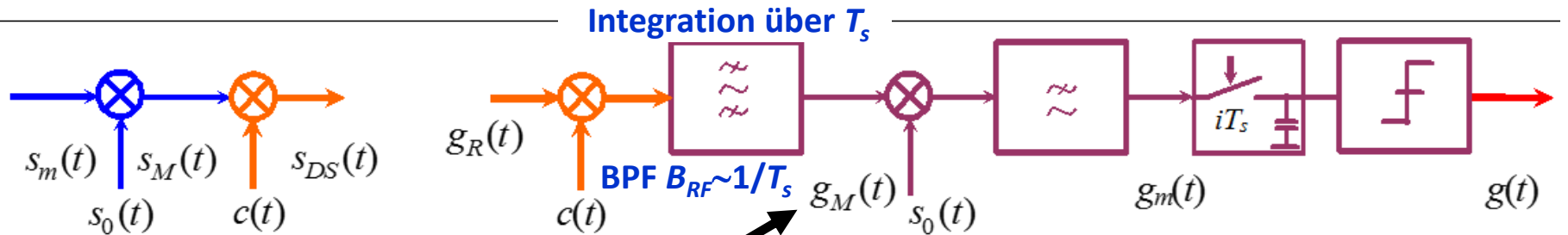
Entspreizung (Multiplikation mit $c(t)$) in HF-Ebene

ν -ter Empfänger



TECHNISCHE
UNIVERSITÄT
DARMSTADT

$$a_M = a_{0C} A_M = a_{0C} k_M A_m \hat{s}_0$$



$$g_M(t) = g_R(t) \cdot c(t - \tau) = a_{0C} \cdot s_{DS}(t - t_{0C}) \cdot c(t - \tau)$$

$$= a_{0C} k_M \hat{s}_0 \cdot s_m(t - t_{0C}) \cdot \cos(2\pi f_0(t - t_{0C})) \cdot c(t - t_{0C}) \cdot c(t - \tau)$$

Hierbei ist τ die abgeschätzte Verzögerung des Signals im Empfänger.

Bei idealer (korrekter) Synchronisation mit $\tau = t_{0C}$ ist

→ Entspreizte Signal

$$g_M(t) = \underbrace{a_{0C} k_M A_m \hat{s}_0}_{\text{LDS nach Entspreizung}} \cdot \frac{1}{A_m} s_m(t - t_{0C}) \cdot \cos(2\pi f_0(t - t_{0C}))$$

$$\frac{1}{T_s} \int_0^{T_s} c_u(t - t_{0C}) c_v(t - \tau) dt = 1 \quad \text{für } u = v$$

LDS nach Entspreizung

$$|G_M(f)|^2 = \frac{1}{2} a_M^2 \cdot T_s \cdot \text{si}^2[\pi(f + f_0)T_s] + \frac{1}{2} a_M^2 \cdot T_s \cdot \text{si}^2[\pi(f - f_0)T_s]$$

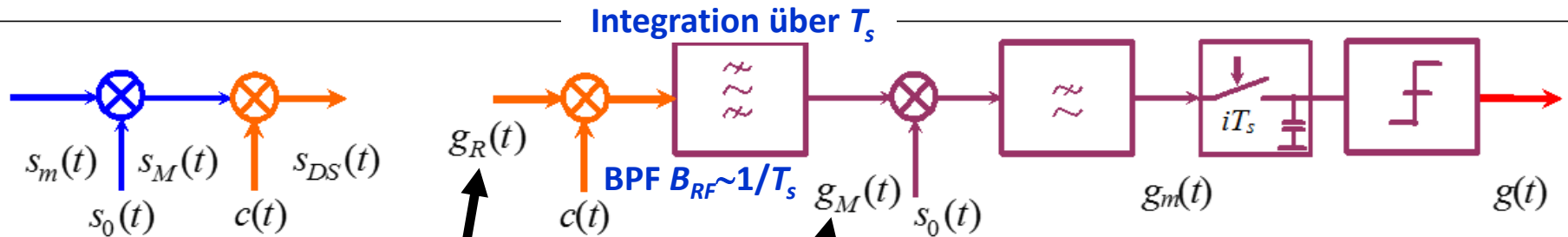
Entspreizung (Multiplikation mit $c(t)$) in HF-Ebene

ν -ter Empfänger

$$a_M = a_{0C} A_M = a_{0C} k_M A_m \hat{s}_0$$



TECHNISCHE
UNIVERSITÄT
DARMSTADT

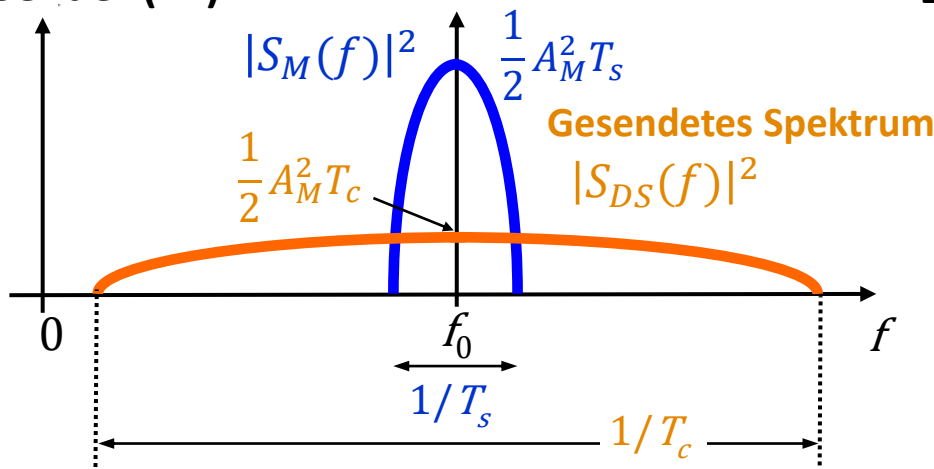


$$|G_R(f)|^2 = \frac{1}{2} a_{0C}^2 A_M^2 \cdot T_c \cdot \text{si}^2[\pi(f + f_0)T_c] + \frac{1}{2} a_{0C}^2 A_M^2 \cdot T_c \cdot \text{si}^2[\pi(f - f_0)T_c]$$

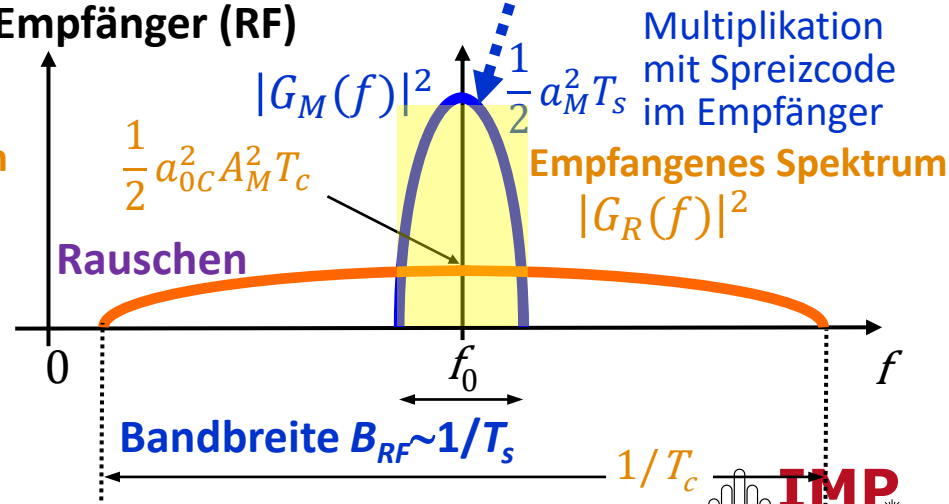
$$|G_M(f)|^2 = \frac{1}{2} a_M^2 \cdot T_s \cdot \text{si}^2[\pi(f + f_0)T_s] + \frac{1}{2} a_M^2 \cdot T_s \cdot \text{si}^2[\pi(f - f_0)T_s]$$

Empfänger: Spektren vor/nach der Entspreizung + BPF mit Bandbreite $B_{RF} \sim 1/T_s$

Sender (RF)



Empfänger (RF)



Entspreizung (Multiplikation mit $c(t)$) in HF-Ebene

v -ter Empfänger

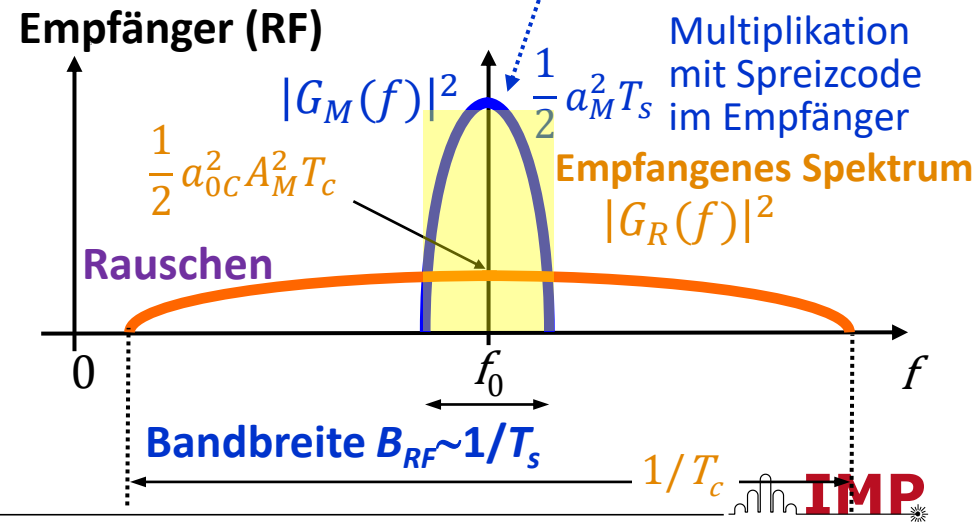


TECHNISCHE
UNIVERSITÄT
DARMSTADT

$$a_M = a_{0C} A_M = a_{0C} k_M A_m \hat{s}_0$$

Gespreiztem Empfangsspektrum $|G_R(f)|^2$ überlagert sich Rauschen mit konst. LDS

Entspreizung des empfangenen Signals (Multiplikation $g_R(t) \cdot c(t)$) & anschließende Integration zur Rückführung der Nutzsignalfolge bewirkt eine **Erhöhung des LDS**, aber keine Anhebung des Rauschpegels nach dem Spreizprozess, da das Rauschen $n(t)$ und das empfängerseitige Pseudozufallssignal $c(t)$ (wie auch die aller anderen gesendeten Codes mit $u \neq v$) unkorreliert sind.



Vor & Nach Entspreizung in HF-Ebene

ν -ter Empfänger



TECHNISCHE
UNIVERSITÄT
DARMSTADT

$$a_M = a_{0C} A_M = a_{0C} k_M A_m \hat{s}_0$$

Gespreiztem Empfangsspektrum $|G_R(f)|^2$ überlagert sich Rauschen mit konst. LDS

Integration über si^2 -Funktion ergibt $1/T_c$ bzw. $1/T_s$

vor Entspreizung

$$\left. \begin{aligned} P_s &= \frac{1}{2} a_{0C}^2 A_M^2 T_c \cdot \frac{1}{T_c} \\ P_n &= \frac{1}{2} N_0 \cdot \frac{1}{T_c} \end{aligned} \right\} \frac{P_s}{P_n} = a_{0C}^2 A_M^2 \cdot \frac{T_c}{N_0}$$

nach Entspreizung

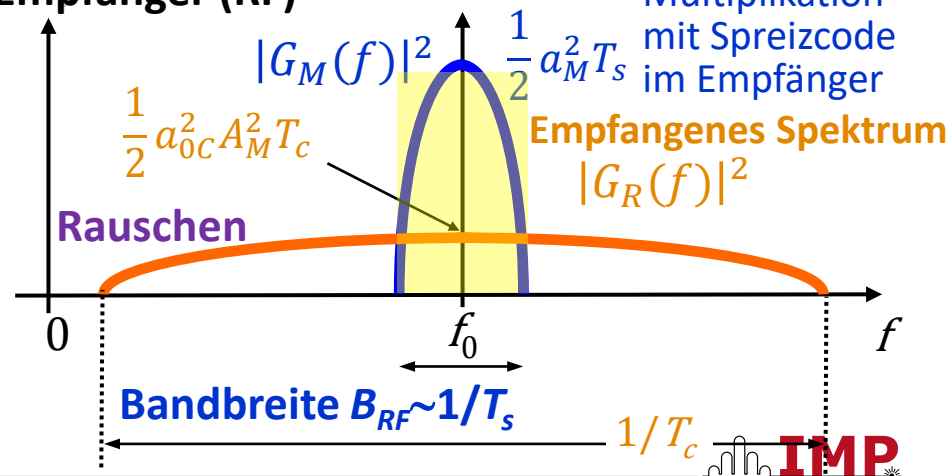
$$\left. \begin{aligned} P_s &= \frac{1}{2} a_M^2 T_s \cdot \frac{1}{T_s} = \frac{1}{2} a_{0C}^2 A_M^2 \\ P_n &= \frac{1}{2} N_0 \cdot \frac{1}{T_s} \end{aligned} \right\} \frac{P_s}{P_n} = a_{0C}^2 A_M^2 \cdot \frac{T_s}{N_0}$$

$$SNR!_{nach} = a_{0C}^2 A_M^2 \cdot \frac{T_s}{N_0} = a_{0C}^2 A_M^2 \cdot \frac{T_s}{N_0} \cdot \frac{T_c}{T_c}$$

$$SNR!_{nach} = SNR!_{vor} \cdot \frac{T_s}{T_c}$$

Spreizfaktor G_p

Empfänger (RF)



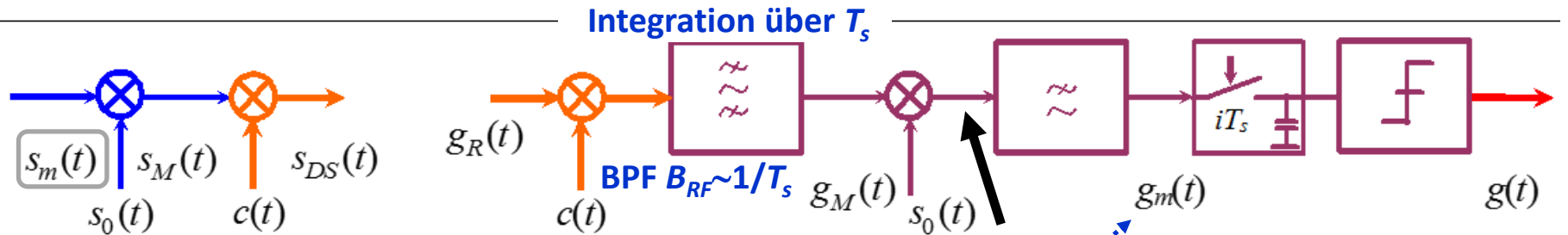
Abwärtsmischung

ν -ter Empfänger



TECHNISCHE
UNIVERSITÄT
DARMSTADT

$$a_M = a_{0C} A_M = a_{0C} k_M A_m \hat{s}_0$$



Oszillatorsignal = Trägersignal

$$s_0(t) = \hat{s}_0 \cos(2\pi \cdot f_0 \cdot t) = k_D a_M \hat{s}_0 \cdot \frac{1}{A_m} s_m(t - t_{0C}) \cdot \cos(2\pi f_0(t - t_{0C})) \cos(2\pi f_0(t - \tau))$$

$$g_D(t) = \underbrace{\frac{1}{2} k_D a_M \hat{s}_0 \cdot \frac{1}{A_m}}_{A_D} \underbrace{s_m(t - t_{0C})}_{\text{wird durch TP herausgefiltert}} \cdot \{1 + \cos(4\pi f_0(t - t_{0C}))\}$$

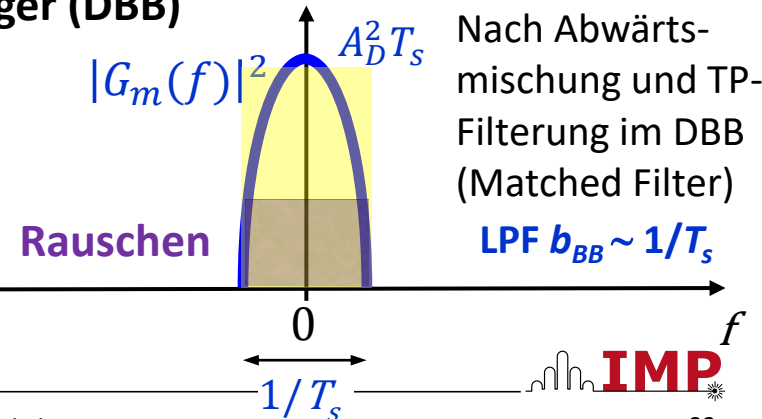
$$|S_m(f)|^2 = A_m^2 \cdot T_s \cdot \text{si}^2(\pi f \cdot T_s)$$

LDS nach Demodulation & TP-Filterung:

$$|G_m(f)|^2 = A_D^2 \cdot T_s \cdot \text{si}^2[\pi f T_s]$$

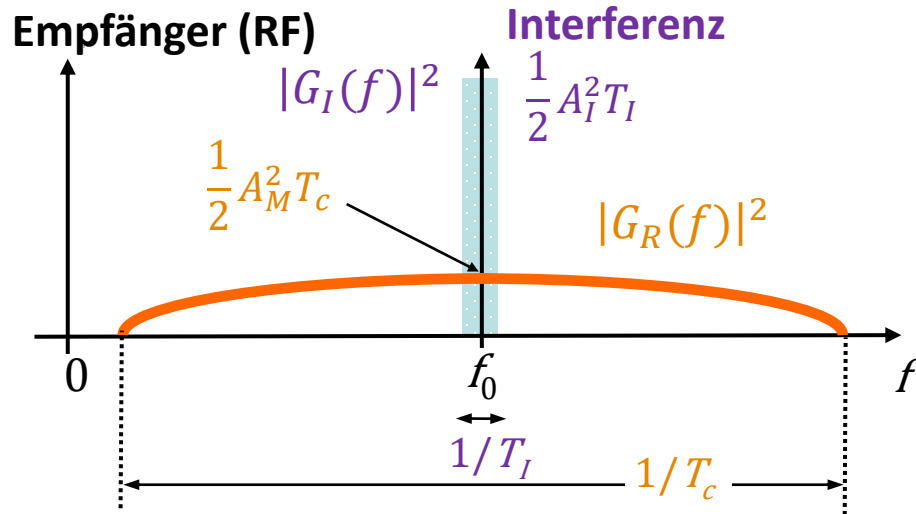
$$A_D = \frac{1}{2} k_D a_M \hat{s}_0 / A_m$$

Empfänger (DBB)



Interferenzreduktion durch Bandpreisiztechnik

LDS am Empfängereingang



Empfängereingang:

Gesendete Spreizsignal (sehr breitbandig)
+ Interferenzstörer eines anderen Senders (sehr schmalbandig)

$$g_R(t) = s_{DS}(t) + A_I \cdot \cos(2\pi f_0 t)$$

$$|G_R(f)|^2 = \frac{1}{2} A_M^2 \cdot T_c \cdot \{\text{si}^2[\pi(f + f_0)T_c] + \text{si}^2[\pi(f - f_0)T_c]\}$$

LDS in der Hochfrequenzebene
am Empfängereingang:

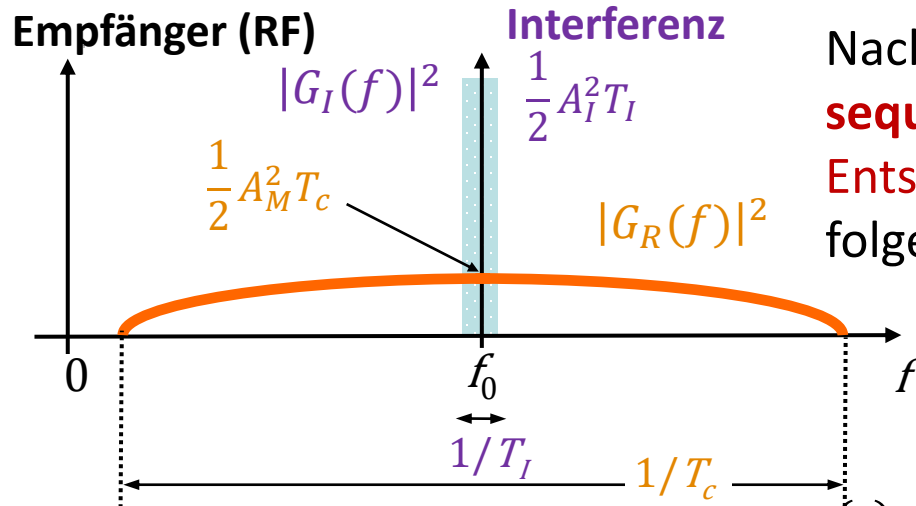
$$+ \frac{1}{2} A_I^2 \cdot T_I \cdot \{\delta(f + f_0) + \delta(f - f_0)\}$$

Interferenzreduktion durch Bandspreiztechnik

Entspreizung im Empfänger (HF-Ebene)

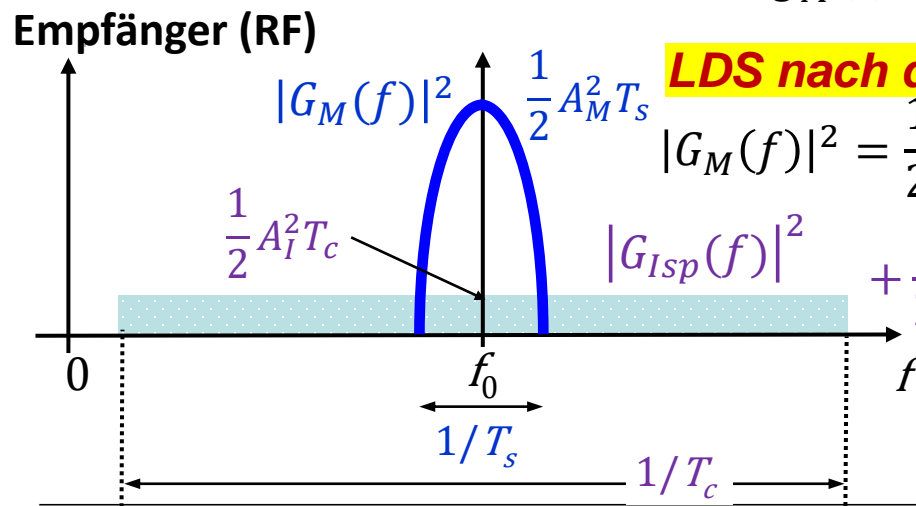


TECHNISCHE
UNIVERSITÄT
DARMSTADT



Nach der **Multiplikation mit der Spreizcode-sequenz** ergibt sich unmittelbar nach dem **Entspreizungsmischer (vor dem Bandpassfilter)** folgendes Signal bzw. Leistungsdichtespektrum:

$$g_M(t) = g_R(t)c(t) = s_{DS}(t) \cdot c(t) + A_I \cdot \cos(2\pi f_0 t) \cdot c(t)$$



LDS nach der Entspreizung

$$|G_M(f)|^2 = \frac{1}{2} A_M^2 \cdot T_S \cdot \{ \text{si}^2[\pi(f + f_0)T_S] + \text{si}^2[\pi(f - f_0)T_S] \} + \frac{1}{2} A_I^2 \cdot T_C \cdot \{ \text{si}^2[\pi(f + f_0)T_C] + \text{si}^2[\pi(f - f_0)T_C] \}$$

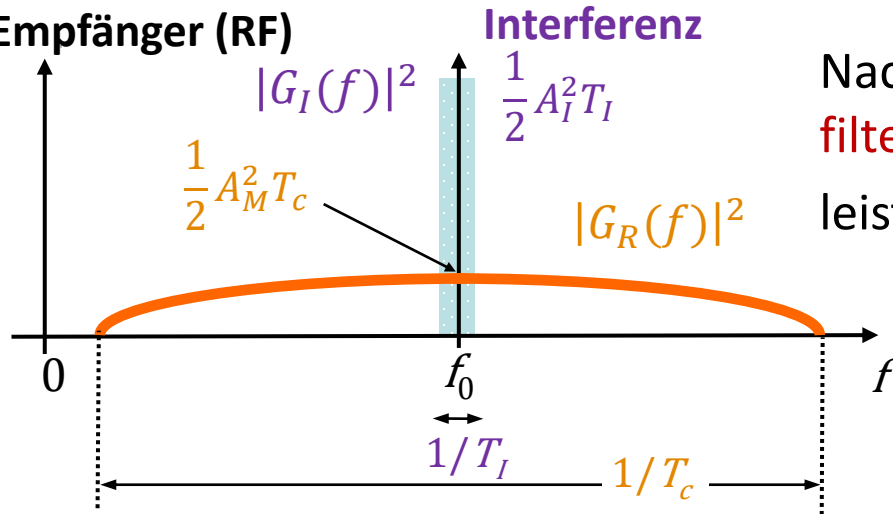
Interferenzreduktion durch Bandspreiztechnik

Abwärtsmischung + TP-Filterung: HF \rightarrow DBB



TECHNISCHE
UNIVERSITÄT
DARMSTADT

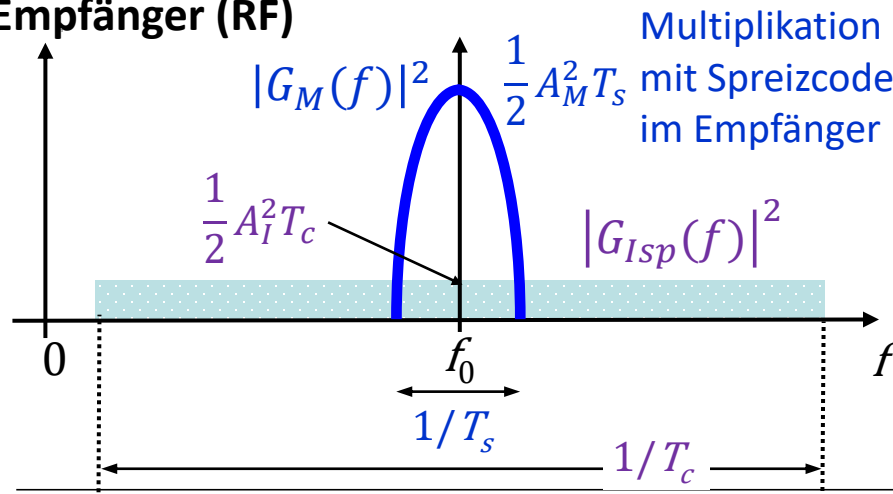
Empfänger (RF)



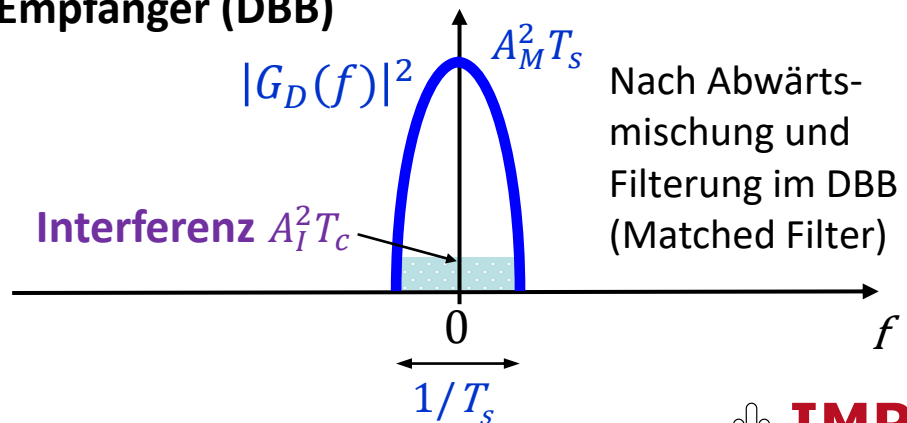
Nach Abwärtsmischung ($k_D = 1$) & **Bandpassfilterung** mit $B_{RF} \sim 1/T_S$ verbleibt eine Störleistung von $A_I^2 \frac{T_S}{T_C}$.

$$SIR|_{\text{nach Entspreizung}} \approx G_p \cdot SIR|_{\text{vor Entspreizung}}$$

Empfänger (RF)



Empfänger (DBB)



Nach Abwärtsmischung und Filterung im DBB (Matched Filter)

Danke für die Aufmerksamkeit



TECHNISCHE
UNIVERSITÄT
DARMSTADT

Technische Universität Darmstadt (TUD)

Mikrowellentechnik (MWT) • Microwave Engineering Lab

Institut für Mikrowellentechnik und Photonik (IMP)

Merckstrasse 25, 64283 Darmstadt, Tel.: +49 6151-16-28460, E-Mail: rolf.jakoby@tu-darmstadt.de

